



Development of Integrated Multi-objective Green Supply Chain Scheduling Model: Production, Distribution and Heterogeneous Vehicle Routing with Customer Time Windows

Maliheh Ganji

PhD Candidate, Department of Industrial Engineering, Central Tehran Branch, Islamic Azad University, Tehran, Iran. E-mail: maliheh.ganji@yahoo.com

Hamed Kazemipoor

*Corresponding Author, Assistant Prof., Department of Industrial Engineering, Central Tehran Branch, Islamic Azad University, Tehran, Iran. E-mail: hkazemipoor@iauctb.ac.ir

Seyed Mohammad Hadji Molana

Assistant Prof., Department of Industrial Engineering, Science and Research Branch, Islamic Azad University, Tehran, Iran. E-mail: molana@srbiau.ac.ir

Seyed Mojtaba Sajadi

Associate Prof., New Business Department, Faculty of Entrepreneurship, University of Tehran, Tehran, Iran. msajadi@ut.ac.ir

Abstract

Objective: In this study, different ways of delivering goods to customers are created and therefore the vehicle routing decisions are added to this issue. In this case, customers must be divided into clusters and each customer assigned to one means of transportation in order to minimize the cost of orders between customers. In this study, the problem of integrated supply chain scheduling is determined by timely delivery of orders, scheduling orders on a machine in a manufacturing system and batch shipment, allocation to multiple heterogeneous transport modes according to capacity, and finally order delivery. To customers in the time window, it aims to minimize the total cost of distributing orders and the constant and variable costs of fuel and carbon emissions of the vehicle and the total time delay of customer orders.

Methods: The problem programming model is a mathematical model of complex nonlinear integer and has been used for solving multi-objective meta-algorithms MOPSO and NSGA-II.

Results: The results show that NSGA-II algorithm performs well.

Conclusion: This research reduces the costs of production, distribution, inventory maintenance and fuel consumption. It can also help reduce product inventory and maintenance costs.

Keywords: Integrated production and distribution problem, Production scheduling, Heterogeneous vehicle routing, Batch delivery, Time window, Multi-objective meta-algorithm.

Citation: Ganji, M., Kazemipoor, M., Haji Molana, S.M., & Sajadi, S.M. (2020). Development of Integrated Multi-objective Green Supply Chain Scheduling Model: Production, Distribution and Heterogeneous Vehicle Routing with Customer Time Windows. *Industrial Management Journal*, 12(1), 47 – 81. (in Persian)

Industrial Management Journal, 2020, Vol. 12, No.1, pp. 47- 81

DOI: 10.22059/imj.2020.294629.1007697

Received: September 27, 2019; Accepted: February 16, 2020

© Faculty of Management, University of Tehran



مدیریت صنعتی

شایا چاپی: ۲۰۰-۵۸۸۵
شایا الکترونیکی: ۲۴۲۲-۵۳۶۹

توسعه مدل دوهدفه یکپارچه زمانبندی زنجیره تأمین سبز: تولید، توزیع و مسیریابی با وسیله نقلیه ناهمگن و پنجره‌های زمانی مشتریان

ملیحه گنجی

دانشجوی دکتری، گروه مهندسی صنایع، واحد تهران مرکز، دانشگاه آزاد اسلامی، تهران، ایران. رایانامه: maliheh.ganji@yahoo.com

حامد کاظمی‌پور

* نویسنده مسئول، استادیار، گروه مهندسی صنایع، واحد تهران مرکز، دانشگاه آزاد اسلامی، تهران، ایران. رایانامه: hkhazemipoor@iauctb.ac.ir

سید محمد حاجی مولانا

استادیار، گروه مهندسی صنایع، واحد علوم و تحقیقات، دانشگاه آزاد اسلامی، تهران، ایران. رایانامه: molana@srbiau.ac.ir

سید مجتبی سجادی

دانشیار، گروه کسب‌وکار جدید، دانشکده کارآفرینی دانشگاه تهران، تهران، ایران. رایانامه: msajadi@ut.ac.ir

چکیده

هدف: در این پژوهش مسئله یکپارچه زمانبندی زنجیره تأمین با تعیین واگذاری موعد تحویل، زمانبندی سفارش‌ها روی یک ماشین در یک سیستم تولیدی و ارسال به صورت دسته‌ای، واگذاری به چندین وسیله حمل و نقل ناهمگن با توجه به ظرفیت و در نهایت، تحویل سفارش‌ها به مشتریان در پنجره زمانی با هدف کمینه کردن کل هزینه‌های توزیع سفارش‌ها و هزینه‌های ثابت و متغیر سوخت و انتشار کربن وسیله نقلیه و کل زمان دیرکرد سفارش‌های مشتریان است.

روش: مدل برنامه‌ریزی مسئله بیان شده یک مدل ریاضی عدد صحیح غیرخطی مختلط بوده و برای حل آن از الگوریتم‌های فرابتکاری چنددهده MOPSO-II و NSGA-II بهره گرفته شده است. به منظور مقایسه دقیق‌تر نتایج حاصل از معیارهای عملکردی، از تحلیل آماری t زوجی در سطح اطمینان ۹۵ درصد و $P - value < 0.05$ استفاده شد.

یافته‌ها: نتایج حل حاصل از الگوریتم‌ها و تحلیل آماری در سطح اطمینان ۹۵ نشان‌دهنده عملکرد مناسب الگوریتم NSGA-II است، از این رو الگوریتم NSGA-II، برای مدل پیشنهادی، کارایی مناسب‌تری دارد.

نتیجه‌گیری: این پژوهش به کاهش هزینه‌های تولید، توزیع، نگهداری موجودی و مصرف سوخت منجر می‌شود. همچنین می‌توان به کمک این مسئله، موجودی محصولات و هزینه‌های نگهداری را کاهش داد.

کلیدواژه‌ها: زمانبندی زنجیره تأمین سبز، مسئله یکپارچه تولید و توزیع، زمانبندی تولید، مسیریابی وسیله نقلیه ناهمگن، تحویل دسته‌ای، پنجره‌های زمانی مشتریان.

استناد: گنجی، ملیحه؛ کاظمی‌پور، حامد؛ حاجی مولانا، سید محمد؛ سجادی، سید مجتبی (۱۳۹۹). توسعه مدل دوهدفه یکپارچه زمانبندی زنجیره تأمین سبز: تولید، توزیع و مسیریابی با وسیله نقلیه ناهمگن و پنجره‌های زمانی مشتریان. مدیریت صنعتی، ۱۲(۱)، ۴۷-۸۱.

مقدمه

پژوهشگران، به توزیع کالا به مشتریان از طریق شبکه‌های توزیع توجه بسیاری کرده‌اند. به طور سنتی، هر یک از اعضای زنجیره تأمین فقط کارهای خود را در محیط کسب‌وکار برنامه‌ریزی کرده و سعی می‌کرند سود خود را بدون در نظر گرفتن منافع سایر اعضاء به حداقل برسانند، اما امروزه، تصمیم‌های هماهنگ و یکپارچه در میان هر یک از اعضای زنجیره تأمین، بسیار حیاتی است. دو مورد از این تصمیم‌های مهم، زمان‌بندی تولید و توزیع^۱ سفارش‌های مشتری است که در سطح برنامه‌ریزی عملیاتی صورت می‌گیرد و به کاهش هزینه‌های عملیاتی و تحويل به موقع سفارش‌ها منجر شده و موجب رضایت مشتری می‌شود. در دیدگاه مرسوم و پیشین، مدیریت زنجیره تأمین شامل هدایت تمام اعضاء زنجیره تأمین به صورت یکپارچه و هماهنگ با هدف بهبود عملکرد، برای ارتقای بهره‌وری و سود بیشتر بود و مدیران زنجیره تأمین به دنبال تحويل سریع‌تر کالا و خدمات، کاهش هزینه و افزایش کیفیت بودند. اما بهبود عملکرد زیستمحیطی زنجیره تأمین و اهمیت هزینه‌های اجتماعی و تخریب محیط زیست لحاظ نمی‌شد. امروزه مدیران زنجیره تأمین سبز در شرکت‌های پیشرو از طریق ایجاد مطلوبیت و رضایتمندی از دیدگاه محیطی در سراسر زنجیره تأمین، می‌کوشند تا از لجستیک سبز و بهبود عملکرد زیستمحیطی خود در کل زنجیره تأمین به عنوان یک سلاح استراتژیک برای کسب مزیت رقابتی پایدار سود ببرند و اهداف خود را بر اساس سه موضوع مهم طراحی سبز (محصول)، تولید سبز (فرایند) و بازیافت محصول پایه‌گذاری می‌کنند.

یکپارچگی تصمیم‌گیری در زنجیره تأمین به بررسی وابستگی میان مکان تسهیلات، تخصیص تأمین‌کنندگان و مشتریان به تسهیلات، ساختار سیستم حمل و نقل و مسیریابی آنها می‌پردازد (حاجیان، افسار کاظمی، سید حسینی و طلوعی اشلقی، ۱۳۹۸). در محیط‌های تولیدی، ممکن است توجه نداشتن به موعد تحويل^۲ یا سررسید^۳ یک کار، موجب از دست دادن مشتری یا هزینه جبران تأخیر در خط تولید و مونتاژ شود (استرنا^۴، ۲۰۱۱). در یک سیستم یکپارچه، توانایی کنترل کردن موعد تحويل، عاملی مهم در بهبود عملکرد یک سیستم است و افزایش موعد تحويل یک سفارش به هزینه منجر می‌شود (زارعی و راستی بزرگی^۵، ۲۰۱۸). هدف از زمان‌بندی زنجیره تأمین^۶، بهینه‌سازی تصمیم‌های کوتاه‌مدت و میان‌مدت با توجه به موازنۀ اهداف اقتصادی مانند به حداقل رساندن هزینه یا به حداقل رساندن سود و اهداف غیرملموس مانند رضایت مشتری یا سطح خدمات به مشتریان است (قرابی و جولای^۷، ۲۰۱۸). یکی از روش‌های متداول در صنعت برای ارسال کالاهای توزیعی به سمت مشتریان است (قرابی و جولای^۸). یکی از روش‌های متداول در صنعت برای ارسال کالاهای توزیعی به سمت مشتریان است (قرابی و جولای^۹). مهم‌ترین ایراد روش ارسال تکی، دیرکرد ارسال کالاهاست، زیرا برای اینکه آن دسته فرستاده شود، باید همه سفارش‌های یک دسته تکمیل شوند. برای اتخاذ استراتژی مناسب، باید بین هزینه حمل و دیرکرد سفارش‌ها موازنۀ صورت گیرد (نوروزی، مزده، حیدری و راستی بزرگی^{۱۰}، ۲۰۱۸). مسئله مسیریابی وسیله نقلیه با ناوگان ناهمگن^{۱۱} شکل

- 1. Production and Distribution Scheduling
- 3. Deadline
- 5. Zarei & Rasti-Barzoki
- 7. Gharaei & Jolai
- 9. Chen
- 11. Heterogeneous Fleet Vehicle Routing Problem

- 2. Due Date
- 4. Sterna
- 6. Scheduling Supply Chain
- 8. Batch delivery
- 10. Noroozi, Mazdeh, Heydari & Rasti-Barzoki

دیگری از مسئله مسیریابی است که گلدن، اسد، لوی و قیسن^۱ (۱۹۸۴) مطرح کردند و در آن وسایل نقلیه دارای هزینه ثابت و متغیر متفاوتی است. تابع هدف این مسئله به طور معمول شامل فاصله، هزینه، تعداد خودرو و ... است (شابندرززاده، نجمی و عطایی، ۱۳۹۶). هدف مسئله HFVRP حداقل کردن کلیه هزینه‌ها، شامل هزینه‌های ثابت و متغیر وسایل نقلیه و تأمین تقاضای مشتریان، برای کسب رضایتمندی آنان است (تت و ویگو^۲، ۲۰۰۲). یک نوع بسیار مهم و کاربردی از این مسائل، مسئله مسیریابی وسیله نقلیه با پنجره زمانی^۳ و مسیریابی با در نظر گرفتن وسایل نقلیه ناهمگن است. سالومون^۴ (۱۹۸۶) برای نخستین بار مسئله مسیریابی VRPTW را مطرح کرد که مسئله تعیین‌یافته‌ای از مسئله مسیریابی وسیله نقلیه با ظرفیت محدود (CVRP)^۵ است و باید در آن سرویس‌دهی به هر مشتری در بازه زمانی معینی صورت گیرد.

مدل‌های مسیریابی سبز با هدف تعیین مسیر بهینه به منظور کمینه‌سازی آلاینده‌هایی زیست‌محیطی از سال ۲۰۰۶ در ادبیات موضوع مطرح شدند (اصغری زاده، جعفر نژاد، زندیه و جویبار، ۱۳۹۶). امروزه با افزایش وسایل نقلیه برای توزیع کالاها و همچنین افزایش فعالیت‌های راهسازی، بشر، به طور خواسته یا ناخواسته، برای محیط زیست به عنوان خطری بزرگ شناخته می‌شود. فعالیت‌های انسانی مانند استفاده بیشتر از مواد سوختی فسیلی، ایجاد گازهای گلخانه‌ای، تخریب جنگل‌ها برای ایجاد راه‌های ارتباطی و غیره موجب تخریب روزافزون محیط زیست شده‌اند (لی، وانگ و ژنگ^۶، ۲۰۱۸). از این رو، یکی از دغدغه‌های مهمی که در مدیریت توزیع کالا مطرح می‌شود، بررسی مسائل کاهش وسایل نقلیه و یافتن کوتاه‌ترین مسیر برای تحویل کالا به مشتریان با هدف کاهش آلودگی‌های زیست‌محیطی و هزینه مصرف سوخت‌های فسیلی و همچنین کسب رضایتمندی مشتریان است و یکی از شاخص‌های مهم در مسائل مسیریابی وسیله نقلیه سبز^۷ به شمار می‌رود (دوند و سردا^۸، ۲۰۱۵).

در برنامه‌ریزی عملیات واحدهای مرتبط با تهیه و تدارک یک محصول در غالب واحدهای تولیدی، هنوز دیدگاه سنتی حاکم بوده و واحدهای تشکیل‌دهنده زنجیره عرضه یک محصول، به تهیایی در راستای بهینه‌سازی منافع خود تصمیم‌هایی اتخاذ می‌کنند (صادقی مقدم، مؤمنی و نالچیگر، ۱۳۸۸).

در مدل ارائه شده، ابتدا درباره اینکه مجموعه سفارش‌ها با چه توالی پردازش شوند، تصمیم‌گیری می‌شود. یک سفارش پس از پردازش می‌تواند بلا فاصله ارسال شده یا منتظر بماند تا سایر سفارش‌های آن دسته به طور کامل پر شده و سپس محموله ارسال شود. بنابراین زمان تکمیل هر دسته با زمان تکمیل آخرین سفارش واگذارشده به آن دسته برابر است که این عمل باعث افزایش دیرکرد کل می‌شود. پس نیاز است بین هزینه توزیع و اهداف زمان‌بندی (مانند دیرکرد کارها) موازنه‌ای^۹ صورت گیرد. برای انتقال سفارش‌ها، تعدادی وسیله نقلیه ناهمگن با ظرفیت محدود و نرخ هزینه حمل و نقل متفاوت در نظر گرفته شده است و مشتریان در پنجره‌های زمانی خود، کالای مدد نظر را دریافت می‌کنند. چندین مشتری در نقاط مختلفی قرار دارند و یک مشتری می‌تواند یک یا چند سفارش داشته باشد. همچنین در یک

1. Golden, Assad, Levy & Gheysens
3. Vehicle Routing Problem with Time Windows
5. Capacity Vehicle Routing Problem
7. Green Vehicle Routing Problem
9. Trade-off

2. Toth & Vigo
4. Solomon
6. Li, Wang & Zhang
8. Dondo & Cerdá

دسته فقط سفارش یک مشتری قرار نمی‌گیرد و می‌تواند سفارش‌های مختلف نیز قرار داشته باشد. برای تحویل کالا به مشتریان مسیریابی مختلفی ایجاد می‌شود و تصمیم‌های مسیریابی وسایل نقلیه به این مسئله افزوده می‌شوند. در این حالت باید مشتریان به خوش‌هایی تقسیم شوند و در هر خوش تعدادی مشتری به یک وسیله حمل و نقل واگذار شود، به طوری که هزینه‌های سفارش‌ها بین مشتریان کمینه شود. مدل ارائه شده در این مقاله، چندهدفه بوده و دارای دوتابع هدف حداقل‌سازی کل هزینه‌های توزیع سفارش‌ها، هزینه‌های متغیر سوت و انتشار کربن و کل زمان دیرکرد مشتریان است. تولید به صورت تک دوره‌ای و سیستم سفارش به صورت ساخت برای سفارش^۱ است. مسئله به صورت کلی در شکل ۱ بیان و ترسیم شده است.



شکل ۱. نمای کلی مسئله ارائه شده

از دیدگاه مدیریتی، این پژوهش ممکن است به کاهش هزینه‌های تولید، توزیع، نگهداری موجودی و مصرف سوت منجر شود. همچنین می‌توان به کمک این مسئله موجودی محصولات و هزینه‌های نگهداری را کاهش داد. برنامه‌ریزی مناسب در واگذاری سفارش‌ها به کارخانه‌ها و ناوگان حمل و نقل، به افزایش بهره‌وری و استفاده مناسب از منابع منجر خواهد شد. همچنین جریان سفارش در میان منابع سیستم مانند ماشین‌آلات، کارخانجات و ناوگان حمل متعادل خواهد شد.

در این مقاله، در بخش مروری بر پژوهش‌های گذشته، پژوهش‌های انجام شده در حوزه زمان بندی یکپارچه تولید، توزیع و تحویل دسته‌ای بررسی می‌شوند. در بخش توصیف مدل، مسئله اصلی توصیف می‌شود و یک مدل ریاضی ارائه خواهد شد. در بخش روش حل، یک رویکرد حل با الگوریتم فرالبتکاری ارائه شده و در بخش تولید نمونه مسئله، تجزیه و تحلیل می‌شود و مثال عددی ارائه خواهد شد. در بخش حل مسئله، نتایج آزمایش‌های محاسباتی و عملکردی الگوریتم پیشنهادی ارائه و مقایسه می‌شوند و در نهایت در بخش نتیجه‌گیری، نتایج حاصل از پژوهش و پیشنهادهایی برای پژوهش‌های آتی بیان می‌شوند.

پیشنهاد تجربی پژوهش

استفاده از زمان بندی توزیع و تولید بهینه یکپارچه در مقایسه با تصمیم‌های جداگانه، سود شایان توجهی دارند که در

پژوهش‌های چن و واریسکاتاریس^۱ (۲۰۰۵) و پوندر و چن^۲ (۲۰۰۵) نشان داده شده است. چنگ و کالباجر^۳ (۱۹۹۳)، نخستین پژوهش را با در نظر گرفتن هزینه حمل و نقل برای دسته‌ها ارائه کردند. لی و چن^۴ (۲۰۰۱) به بررسی ظرفیت حمل، به عنوان نخستین پژوهش پرداخته‌اند. آنها با روش ارسال مستقیم، مسائل متنوعی را بررسی کردند. بعضی از مقاله‌ها کاهش هزینه‌های حمل و نقل و معیار عملکرد رضایت مشتری را برگزیده‌اند (هال و پوتس^۵، ۲۰۰۳؛ وانگ و لی^۶، ۲۰۰۵؛ جیانگ و لی^۷، ۲۰۰۸ و لی و واریسکاتاریس^۸، ۲۰۰۷). از سوی دیگر، در برخی از مقاله‌ها به کاهش هزینه‌های حمل و نقل و هزینه کل موجودی اشاره شده است (هرمن و لی^۹، ۱۹۹۳ و گیزمار، لپرت، لی و سریسکاندارجاه^{۱۰}، ۲۰۰۸). علاوه بر این، در سال‌های اخیر، مقاله‌ها مروری به این مسئله دارند. در مقاله‌های مولا، پدرو، دیاز و ویسنر^{۱۱} (۲۰۱۰)، فهیم‌نیا، فراهانی، ماریان و لانگ^{۱۲} (۲۰۱۳) و مونز، رمیکرز، کاریس و اردا^{۱۳} (۲۰۱۷)، به عوامل متعددی مانند سطوح تصمیم‌گیری، رویکرد مدل‌سازی، تابع هدف، رویکرد حل یا بر اساس ساختار اشاره شده است.

چنگ، گردن و کوالیو^{۱۴} (۱۹۹۶)، به مسئله زمان‌بندی تک ماشین با تحویل دسته‌ای پرداخته‌اند. هدف مسئله، کمینه‌سازی مجموع دسته‌های تحویلی و جریمه زودکرد^{۱۵} است. جی، هی و چنگ^{۱۶} (۲۰۰۷)، نقش وزن سفارش در یک مسئله مشابه را بررسی کردند و نشان دادند که این مسائل حتی برای حالتی که تعداد دسته ثابت است، NP-Hard می‌ماند. حمیدی نیا، خاک ابی‌مقانی، مزده و جعفری^{۱۷} (۲۰۱۲)، با استفاده از یک الگوریتم ژنتیک به حل مسائل زمان‌بندی با هدف کاهش کل دیرکرد^{۱۸} یا زودکرد برای سفارش‌های وزن‌دار در یک سیستم تحویل دسته‌ای پرداختند. مزده، حیدری و کارآموزیان^{۱۹} (۲۰۱۶)، مسئله تحویل دسته‌ای را بررسی کردند که در آن هزینه تأمین مواد از تأمین‌کننده را نیز بهینه می‌کند. لی، لو و لیو^{۲۰} (۲۰۱۶)، به مسئله زمان‌بندی تک ماشین همراه با تولید و تحویل می‌پردازند که در آن فقط یک وسیله برای حمل با ظرفیت محدود وجود دارد. قرایی و جولایی (۲۰۱۸) نیز ارسال دسته‌ای در محیط چند کارخانه‌ای را بررسی کردند.

ین، چنگ، چنگ و وو^{۲۱} (۲۰۱۳)، به مسئله زمان‌بندی با تحویل دسته‌ای در محیط تک ماشین همراه با تخصیص موعد تحویل مشترک^{۲۲} و زمان‌های پردازش قابل کنترل^{۲۳} پرداخته‌اند. راستی بزرگی و حجازی^{۲۴} (۲۰۱۵)، یک مسئله یکپارچه واگذاری موعد تحویل، تولید و تحویل دسته‌ای با زمان‌های پردازش قابل کنترل برای چندین مشتری در یک زنجیره تأمین با هدف کمینه‌سازی تعداد سفارش‌های دارای دیرکرد را بررسی می‌کند. احمدی‌زره و فرهادی^{۲۵} (۲۰۱۵)، به مسئله زمان‌بندی تک ماشین با زمان‌های مختلف دسترسی که به مشتریان مختلف تحویل داده می‌شود، اشاره کرده‌اند.

- | | |
|--|--|
| 1. Chen & Vairaktarakis | 2. Pundoor & Chen |
| 3. Cheng & Kahlbacher | 4. Lee & Chen |
| 5. Hall & Potts | 6. Wang & Lee |
| 7. Xiang & Lee | 8. Li & Vairaktarakis |
| 9. Herrmann & Lee | 10. Geismar, Laporte, Lei & Sriskandarajah |
| 11. Mula, Peidro, Díaz-Madronero & Vicens | 12. Fahimnia, Farahani, Marian & Luong |
| 13. Moons, Ramaekers, Caris & Arda | 14. Cheng, Gordon & Kovalyov |
| 15. Earliness Penalties | 16. Ji, He & Cheng |
| 17. Hamidinia, Khakabimamaghani, Mazdeh & Jafari | 18. Lateness |
| 19. Mazdeh, Heydari & Karamouzian | 20. Li, Lu & Liu |
| 21. Yin, Cheng, Cheng & Wu | 22. Assignable Common Due Date |
| 23. Controllable Processing Time | 24. Rasti-Barzoki & Hejazi |
| 25. Ahmadizar & Farhadi | |

کیم و اون^۱ (۲۰۱۱)، زمانبندی پردازش سفارش‌ها روی دو ماشین موازی در مکان‌های مختلف و سپس تحویل به صورت دسته‌ای را بررسی می‌کنند. فنگ و ژنگ^۲ (۲۰۱۳)، مسئله یکپارچگی تولید و توزیع با ماشین‌آلات موازی، تولید و تحویل دسته‌ای و با هدف بهینه‌سازی زمان تحویل و هزینه‌های حمل را بررسی کردند. ژنگ و جیانگ^۳ (۲۰۱۵)، به یک مسئله زمانبندی با ماشین‌موازی همراه با تحویل دسته‌ای و با هدف کمینه‌سازی هزینه تحویل و حداکثر زمان ورود کارها پرداخته‌اند. مزده و رستمی^۴ (۲۰۱۴)، به دنبال کمینه‌سازی حداکثر دیرکرد و مجموع هزینه‌های تحویل در یک مسئله جریان کارگاهی با دو ماشین در سیستم تحویل دسته‌ای بودند.

دونگ، ژنگ، چن و یانگ^۵ (۲۰۱۳)، یک مسئله تحویل دسته‌ای را بررسی می‌کنند که در آن ابتدا باید تعدادی سفارش توسط دو ماشین در محیط کارگاه باز^۶ پردازش شده و سپس به یک مشتری و به یک وسیله با ظرفیت محدود تحویل داده می‌شود. گو، گو و گو^۷ (۲۰۱۵)، یک الگوریتم ژنتیک کوانتوم^۸ برای زمانبندی یکپارچه زنجیره تأمین همراه با برداشت مواد، زمانبندی جریان کارگاهی و تحویل محصولات نهایی را بررسی کردند که هدف کمینه‌سازی زمان تکمیل است. کریمی و دادپور^۹ (۲۰۱۷)، یک مسئله زمانبندی جدید در زنجیره تأمین را معرفی می‌کنند که در آن هزینه‌های نگهداری وابسته به مرحله نیز وجود دارد.

از پژوهش‌های انجام‌شده در رابطه با مسائل یکپارچه تولید و توزیع که در حالت‌های مختلف بررسی شدند، نتایج

زیر حاصل می‌شوند:

- بیشترین حجم پژوهش‌ها به توابع هدف مربوط به زمان تحویل مربوط است.
- مسائل ارسال دسته‌ای به چند مشتری (ارسال مستقیم و مسیریابی) و مسائل با زمان ارسال، در مقایسه با ارسال تکی و فوری، ثابت پژوهش‌های کمتری را به خود اختصاص می‌دهند که بهدلیل سختی و پیچیدگی این گروه از مسائل است.
- در میان مقاله‌های بررسی شده، تاکنون به مسئله وسایل حمل و نقل غیرهمگن و کمینه‌سازی هزینه‌های مصرف سوخت و انتشار کربن پرداخته نشده است.
- در میان مقاله‌های بررسی شده، تاکنون به ارسال کالا در چندین پنجه زمانی اشاره نشده است.

جدول ۱ نمونه‌ای از پژوهش‌های انجام‌شده مسائل تحویل دسته‌ای و تخصیص موعده تحویل را نشان می‌دهد. با توجه به پژوهش‌های بیان شده در حوزه مسائل یکپارچه تولید و توزیع، از قبیل پژوهش قرایی و جولای (۲۰۱۸) و سایر پژوهش‌های مشابه که همه آنها کمینه‌سازی زمان تحویل را بررسی کرده‌اند، این پژوهش چنددهفه و دارای دوتابع هدف حداقل‌سازی کل هزینه‌های توزیع سفارش‌ها، هزینه‌های متغیر سوخت و انتشار کربن و کل زمان دیرکرد مشتریان است. تولید به صورت تک دوره‌ای و سیستم سفارش به صورت ساخت برای سفارش است. همچنین با توجه با اینکه چندین مشتری در نقاط مختلفی قرار دارند، برای تحویل کالا به مشتریان، مسیریابی مختلفی ایجاد شده و تصمیم‌های مسیریابی

1. Kim & Oron

2. Feng & Zheng

3. Zhong and Jiang

4. Mazdeh & Rostami

5. Dong, Zhang, Chen & Yang

6. Open Shop

7. Gu, Gu & Gu

8. Mutualism Quantum Genetic Algorithm

9. Karimi & Davoudpour

وسایل نقلیه به این مسئله افزوده می‌شوند. در این حالت باید مشتریان به خوش‌هایی تقسیم شوند و در هر خوش تعدادی مشتری به یک وسیله حمل و نقل واگذار شوند، به طوری که هزینه سفارش‌ها بین مشتریان کمینه شود. برای اضافه کردن مسیریابی از مقاله لی و همکاران (۲۰۱۸) بهره گرفته شد. این پژوهش فقط مسئله مسیریابی با وسیله نقلیه ناهمگن با در نظر گرفتن کاهش سوخت و انتشار کربن را در نظر گرفته است، در حالی که مقاله ارائه شده علاوه بر مسئله مسیریابی، زمان‌بندی تولید و توزیع در پنجره‌های زمانی مشتریان را نیز لحاظ کرده و مدل یکپارچه زنجیره تأمین سبز را ارائه داده است.

جدول ۱. خلاصه پژوهش‌های انجام‌شده مسائل تحويل دسته‌ای و تخصیص موعد تحويل

هزینه انتشار کربن	هزینه موافقت	پنجه‌های زمانی	مشتریان	تحویل دسته‌ای	حمل و نقل ناهمگن	حمل و نقل همگن	عیوبیتی	عیوبیتی معمولی	تابع هدف	مقاله
		*		*	*	*	*		کمینه‌سازی مجموع دسته‌های تحویلی و جریمه زودکرد	چنگ و همکاران (۱۹۹۶)
	*	*		*	*	*			کاهش زمان‌بندی پردازش سفارش‌ها	کیم و اون (۲۰۱۱)
	*	*		*	*	*	*		کاهش کل دیرکرد یا زودکرد برای سفارش‌های وزن‌دار	حمدیدی نیا و همکاران (۲۰۱۲)
	*	*		*	*	*			بهینه‌سازی زمان تحویل و هزینه‌های حمل	فنگ و ژنگ (۲۰۱۳)
	*	*		*	*	*	*		کاهش موعد تحویل مشترک و زمان‌های پردازش قابل کنترل	بن و همکاران (۲۰۱۳)
	*	*		*	*	*			حداقل کردن مجموع تأخیرها و هزینه‌های توزیع	مزده و رستمی (۲۰۱۴)
	*	*		*	*	*			کمینه‌سازی هزینه تحویل و حداقل زمان ورود کارها	ژنگ و جیانگ (۲۰۱۵)
	*	*		*	*	*			حداقل کردن مجموع وزن‌های تأخیری و زمان تخصیص داده شده	راستی - بزرگی و حجازی (۲۰۱۵)
	*	*		*	*	*			حداقل کردن حداقل زمان ورود محصول و کل هزینه توزیع	ژانگ و جیانگ (۲۰۱۵)
	*	*		*	*	*			حداقل کردن زمان‌بندی تولید و تحویل	لی و همکاران (۲۰۱۶)
	*	*		*	*	*			حداقل کردن کل هزینه‌های تاخیر، جمع‌آوری از تأمین‌کنندگان و هزینه‌های ارسال به خرده فروش	مزده و همکاران (۲۰۱۶)
	*	*		*	*	*			کمینه‌سازی هزینه‌های نگهداری وابسته به مرحله	کریمی و دادپور (۲۰۱۷)
	*	*		*	*	*			حداقل کردن هزینه‌های توزیع و زمان تحویل	قرابی و جولای (۲۰۱۸)
*	*								حداقل کردن هزینه‌های سوخت و انتشار کربن	لی و همکاران (۲۰۱۸)
*	*	*	*	*	*	*	*		حداقل کردن هزینه‌های توزیع و زمان تحویل و هزینه‌های سوخت و انتشار کربن	مقاله ارائه شده

توصیف مدل

برای این مسئله یکپارچه، چهار متغیر معرفی می‌شوند. نخستین متغیر برای بخش زمان‌بندی ارائه شده است که برای تعیین توالی سفارش‌ها در زنجیره تأمین یا سایت تولیدی استفاده می‌شود. متغیر دوم برای بخش توزیع ارائه شده است که برای تعیین ترتیب تحویل سفارش‌ها در هر وسیله نقلیه استفاده می‌شود. متغیر سوم برای اتصال قسمت زمان‌بندی و توزیع استفاده می‌شود و از آن برای واگذاری سفارش‌ها به وسائل حمل و نقل استفاده می‌شود و متغیر چهارم برای تخصیص پنجره‌های زمانی به مشتریان استفاده می‌شود. مدل ارائه شده، توسعه مدل قرایی و جولای (۲۰۱۸) و لی و همکاران (۲۰۱۸) است.

انتشار کربن وسائل نقلیه به عوامل متعددی مانند نوع وسائل حمل و نقل، نوع سوخت، مصرف سوخت و فاصله بین مبدأ و مقصد بستگی دارد. محاسبه سنتی مصرف سوخت، عملکردی خطی از فاصله سفر است که با آن منطبق نیست. مدل ارائه شده عوامل دقیق‌تر، از جمله بار خودرو، سرعت و فاصله را در نظر می‌گیرد. جدول ۲ برخی از نمادها و مقادیر استفاده شده در مدل را به طور خلاصه بیان می‌کند. این داده‌ها از یک شرکت بزرگ تدارکاتی به دست آمده است (لی و همکاران، ۲۰۱۸).

جدول ۲. مقادیر ارائه شده در مدل (لی و همکاران، ۲۰۱۸)

علائم	شرح	مقدار
c_f	هزینه سوخت در هر لیتر مصرفی (CNY)	۷/۳۰
c_e	هزینه انتشار هر لیتر (CNY)	۰/۶۴
v_{ij}	میانگین سرعت در مسیر (kilometers/hour)	۴۰ - ۱۰۰
α_{ij}	مقدار ثابت: عوامل مربوط به سرعت، چرخش جاده (کمان $[j]$)	۰/۰۹ - ۰/۱۵
β_v	مقدار ثابت: عوامل مربوط به مقاومت سطح (اصطکاک)، چگالی هوا و مساحت سطح وسیله نقلیه	نوع وسیله نقلیه

مفهوم‌ها، مجموعه‌ها، شمارنده‌ها، متغیرهای تصمیم و پارامترها

- وقفه نداشتن در بخش زمان‌بندی.
- دسترس پذیری به همه سفارش‌ها در افق برنامه‌ریزی.
- قبل از پردازش سفارش‌ها هیچ زمان راه‌اندازی وجود ندارد و زمان تخلیه و بارگیری در زمان حمل و نقل در نظر گرفته شده است.
- افق برنامه‌ریزی تک دوره‌ای و سیستم تولید تک ماشین و تک محصولی است.
- نحوه ارسال به صورت مسیریابی و دسته‌ای است.
- برای هر دسته یک زمان آماده‌سازی فرض می‌شود.
- زمان پردازش برای هر کار مشخص و ثابت است.
- وسایل نقلیه با ظرفیت‌های متفاوت و محدود در نظر گرفته شده است که در نتیجه آن یک مجموع هزینه متغیر استفاده از وسایل نقلیه نیز به سیستم اعمال می‌شود.

- طی مسیر هیچ‌گونه اختلالی نظری تغییرات آب و هوا، عوامل انسانی یا سایر عوامل غیرمنتظره رخ نمی‌دهد.
- تقاضای هر مشتری با یک وسیله نقلیه پاسخ داده می‌شود.
- مسیریابی بدون در نظر گرفتن زمان بیکاری برای وسیله نقلیه صورت می‌گیرد.
- سفارش‌ها در پنجره‌های زمانی تعیین شده به مشتریان تحويل می‌شود.

مجموعه‌ها

مجموعه سفارش‌های مشتریان	I
مجموعه وسایل حمل و نقل	K
نوع وسایل حمل و نقل	V
مجموعه پنجره زمانی مشتریان	TW

شمارنده‌ها

i, j	اندیس سفارش‌ها یا مشتریان
k	اندیس وسایل حمل و نقل
v	اندیس نوع وسایل حمل و نقل
tw	اندیس پنجره زمانی مشتریان

پارامترها

n	تعداد سفارش‌ها یا مشتریان
M	یک عدد بزرگ مثبت
p _i	زمان پردازش سفارش i
d _i	موعد تحويل سفارش i
q _i	اندازه سفارش i
t _{ij}	زمان انتقال بین مشتری i و j
t _i	زمان انتقال از سایت تولیدی به مشتری i
r _{ij}	هزینه سفر بین مشتری i
FC	هزینه ثابت هر بار انتقال
c _e	هزینه انتشار کربن در هر لیتر مصرفی
c _f	هزینه سوخت در هر لیتر مصرفی
a _{ij}	مقدار ثابت: عوامل مربوط به سرعت و چرخش جاده (کمان ij)
w _v	وزن وسیله نقلیه بدون بار

β_v	مقدار ثابت: عوامل مربوط به مقاومت سطح (اصطکاک)، چگالی هوا و مساحت سطح وسیله نقلیه
v_{ij}	میانگین سرعت وسیله نقلیه در مسیر j_i
d_{ij}	فاصله کمان j_i
cap_v	ظرفیت وسائل حمل و نقل نوع v
$E_{tw,j}$	حد پایین پنجره زمانی t_w برای مشتری j
$L_{tw,j}$	حد بالای پنجره زمانی t_w برای مشتری j

متغیرهای تصمیمی

x_{ij}	اگر سفارش j بعد سفارش i پردازش شود، ۱ می‌گیرد، در غیر این صورت صفر.
y_{jk}^v	اگر سفارش j به وسیله k نوع v اختصاص یابد، ۱ می‌گیرد، در غیر این صورت صفر.
z_{ijk}^v	اگر سفارش j بلا فاصله بعد سفارش i در وسیله k نوع v تحويل شود، ۱ می‌گیرد، در غیر این صورت صفر.
$u_{tw,j}$	اگر پنجره زمانی t_w برای مشتریان در نظر گرفته شود، ۱ می‌گیرد، در غیر این صورت صفر.
C_j	زمان تکمیل پردازش سفارش j
CB_{kv}	زمان شروع تحويل وسیله k نوع v
A_j	زمان تحويل سفارش j
T_j	میزان زمان دیر کرد سفارش j
wl_{ij}	مقدار بارگیری وسیله نقلیه مثبت است در غیر این صورت صفر

مدل ریاضی

دو سفارش ساختگی صفر و $n+1$ با زمان پردازش صفر و موعد تحويل صفر برای تعیین نخستین و آخرین سفارش توالی در سایت تولیدی معرفی می‌شوند. همچنین، دو مشتری صفر و $n+1$ نیز تعریف می‌شوند که مشتری صفر به معنای سایت تولیدی و مشتری $n+1$ به معنای بازگشت به سایت تولیدی است. مدل ریاضی به شرح زیر است:

$$\begin{aligned} \min & \sum_{v=1}^n \sum_{k=1}^n \sum_{i=1}^n \sum_{j=1}^n r_{ij} z_{ijk}^v + \sum_{v=1}^n \sum_{k=1}^n \sum_{j=1}^n r_j z_{0jk}^v + \sum_{v=1}^n \sum_{k=1}^n \sum_{i=1}^n r_i z_{i,n+1,k}^v \\ & + FC \sum_{v=1}^n \sum_{k=1}^n \sum_{j=1}^n r_j z_{0jk}^v \\ & + \sum_{v=1}^n \sum_{k=1}^n \sum_{i=1}^n \sum_{j=1}^n (c_f + c_e) [(\alpha_{ij}(w_v + wl_{ij}) + \beta_v v_{ij}^2) d_{ij}] z_{ijk}^v \end{aligned} \quad (1)$$

$$\min \sum_{j=1}^n T_j \quad (2)$$

subject to :

$$\sum_{i=0}^n x_{ij} = 1 \quad \forall j = 1, \dots, n+1 \quad \text{رابطه (۳)}$$

$$\sum_{j=1}^{n+1} x_{ij} = 1 \quad \forall i = 0, \dots, n \quad \text{رابطه (۴)}$$

$$x_{ij} = 0 \quad \forall i = j \quad \text{رابطه (۵)}$$

$$x_{0,n+1} = 0 \quad \text{رابطه (۶)}$$

$$x_{ij} + x_{ji} \leq 1 \quad \forall i, j = 1, \dots, n \quad \text{رابطه (۷)}$$

$$\sum_{v=1}^n \sum_{k=1}^n y_{jk}^v = 1 \quad \forall j = 1, \dots, n \quad \text{رابطه (۸)}$$

$$\sum_{i=0}^n z_{ijk}^v = y_{jk}^v \quad \forall j = 1, \dots, n+1 \quad \forall k = 1, \dots, n \quad \forall v = 1, \dots, n \quad \text{رابطه (۹)}$$

$$\sum_{j=1}^{n+1} z_{ijk}^v = y_{ik}^v \quad \forall i = 0, \dots, n \quad \forall k = 1, \dots, n \quad \forall v = 1, \dots, n \quad \text{رابطه (۱۰)}$$

$$z_{ijk}^v = 0 \quad \forall i = j \quad \forall k = 1, \dots, n \quad \forall v = 1, \dots, n \quad \text{رابطه (۱۱)}$$

$$z_{0,n+1,v}^k = 0 \quad \text{رابطه (۱۲)}$$

$$z_{ijk}^v + z_{jik}^v \leq 1 \quad \forall i, j = 1, \dots, n \quad \forall k = 1, \dots, n \quad \forall v = 1, \dots, n \quad \text{رابطه (۱۳)}$$

$$\sum_{i=0}^n z_{ijk}^v - \sum_{j=1}^{n+1} z_{ijk}^v = 0 \quad \forall i, j = 1, \dots, n \quad \forall k = 1, \dots, n \quad \forall v = 1, \dots, n \quad \text{رابطه (۱۴)}$$

$$\sum_{j=0}^n q_j y_{jk}^v \leq cap_v \sum_{j=1}^n z_{0ik}^v \quad \forall k = 1, \dots, n \quad \forall v = 1, \dots, n \quad \text{رابطه (۱۵)}$$

$$C_j \geq p_j - M(1 - x_{0j}) \quad \forall j = 1, \dots, n \quad \text{رابطه (۱۶)}$$

$$C_j \geq C_i + p_j - M(1 - x_{ij}) \quad \forall i \neq j = 1, \dots, n \quad \text{رابطه (۱۷)}$$

$$CB_{vk} \geq C_j - M(1 - y_{ik}^v) \quad \forall k, v, j = 1, \dots, n \quad \text{رابطه (۱۸)}$$

$$A_j \geq CB_{vk} + t_{0j} - M(1 - z_{0jk}^v) \quad \forall k, v, j = 1, \dots, n \quad (۱۹)$$

$$A_j \geq A_i + t_{ij} - M(1 - z_{ijk}^v) \quad \forall k, v, i \neq j = 1, \dots, n \quad (۲۰)$$

$$T_j \geq A_j - d_j \quad \forall j = 1, \dots, n \quad (۲۱)$$

$$T_j \geq 0 \quad \forall j = 1, \dots, n \quad (۲۲)$$

$$Wl_{ij} \leq cap_v \quad \forall v, i, j = 1, \dots, n \quad (۲۳)$$

$$Wl_{ij} \geq \sum_{k=1}^n \sum_{v=1}^n q_j y_{jk}^v \quad \forall i, j = 1, \dots, n \quad (۲۴)$$

$$\sum_{tw=1}^n u_{tw,j} = 1 \quad \forall j = 1, \dots, n \quad (۲۵)$$

$$A_j - d_j \geq \sum_{tw=1}^n E_{tw,j} u_{tw,j} \quad \forall j = 1, \dots, n \quad (۲۶)$$

$$A_j - d_j \leq \sum_{tw=1}^n L_{tw,j} u_{tw,j} \quad \forall j = 1, \dots, n \quad (۲۷)$$

$$x_{ij}, y_{jk}^v, z_{ijk}^v, u_{tw,j} \in \{0,1\} \quad \forall k, v, i, j = 1, \dots, n \quad (۲۸)$$

$$c_j, CB_{vk}, A_j, T_j, Wl_{ij} \geq 0 \quad \forall k, v, j = 1, \dots, n \quad (۲۹)$$

روابط ۱ و ۲ توابع هدف هستند و شامل کمینه کردن مجموع هزینه های توزیع سفارش ها و زمان ارسال به مشتریان می شوند. عبارت اول هزینه انتقال بین مشتریان، عبارت دوم هزینه انتقال از سایت تولیدی به مشتری نخست، عبارت سوم هزینه بازگشت از مشتری آخر به سایت تولیدی، عبارت چهارم هزینه ثابت هر بار توزیع و عبارت پنجم هزینه مصرف سوخت و انتشار کربن و در نهایت تابع هدف دوم میزان زمان دیر کرد سفارش های مشتریان است. روابط ۳ تا ۷ تضمین می کنند که هر سفارش، اولین یا آخرین سفارشی است که در زنجیره تأمین پردازش می شود (یک سفارش دو بار پردازش نمی شود)، در غیر این صورت، این سفارش، نوعی سفارش پیش نیازی یا پس نیازی در توالی پردازش است. هر سفارش به وسیله رابطه ۸ به یک دسته یا وسیله نقلیه ناهمگن برای عملیات اختصاص داده می شود. اگر یک سفارش به یک وسیله نقلیه اختصاص داده شود، روابط ۹ تا ۱۳ تضمین می کنند که هر سفارش، اولین یا آخرین سفارش باشد که با یک وسیله حمل و تقل ناهمگن به مشتری تحویل داده می شود، در غیر این صورت، این سفارش دارای یک سفارش پیش نیازی و یک سفارش پس نیازی در توالی تحویل است. رابطه ۱۴ توان ورود و خروج در هر گره مشتری را در مسئله مسیریابی وسیله نقلیه تنظیم می کند. ظرفیت وسیله نقلیه ناهمگن در رابطه ۱۵ نشان داده شده است. روابط ۱۶ و ۱۷ زمان تکمیل پردازش سفارش نخست و سپس سایر سفارش های اختصاص داده شده به وسیله نقلیه را محاسبه می کنند.

رابطه ۱۸ زمان شروع تحويل یک وسیله نقلیه را تعیین می‌کند که با زمان تکمیل پردازش آخرین سفارش اختصاص یافته به وسیله نقلیه برابر است. روابط ۱۹ و ۲۰ برای محاسبه زمان تحويل هر سفارش استفاده می‌شوند. روابط ۲۱ و ۲۲ زمان دیرکرد هر سفارش را محاسبه می‌کنند. روابط ۲۳ و ۲۴ بیان می‌کنند که بارگیری وسیله نقلیه نمی‌تواند بیشتر از ظرفیت آن باشد. رابطه ۲۵ بیان می‌کند که هر مشتری باید فقط و فقط در یک پنجره زمانی سرویس داده شود. روابط ۲۶ و ۲۷ پنجره زمانی که به هر مشتری سرویس داده می‌شود را نشان می‌دهند. روابط ۲۸ و ۲۹ محدودیت عدد صحیح و غیرمنفی بودن متغیرها را نشان داده‌اند.

مدل ریاضی بالا یک مدل برنامه‌ریزی غیرخطی عدد صحیح است و توسط متغیرهای باینری $u_{tw,j}$, x_{ij} , y_{jk}^v , z_{ijk}^v و متغیرهای پیوسته C_j , CB_{vk} , A_j , T_j , Wl_{ij} توصیف می‌شود. این مدل شامل چندین متغیر باینری است که باعث افزایش پیچیدگی مسئله می‌شود. با توجه به پژوهش وانگ و چنگ^۱ (۲۰۰۰) و مزده، زارع پور، زارعی و حاجی نژاد^۲ (۲۰۱۰)، مسئله زمان‌بندی سیستم تولیدی با هدف کمینه‌سازی کل زمان دیرکرد یک مسئله NP-Hard است، از سوی دیگر، مسئله مسیریابی بهنهایی Strongly NP-Hard است (دمیر، بکتاش و لاپرت^۳، ۲۰۱۲). بنابراین مسئله یکپارچه زمان‌بندی تولید، توزیع و مسیریابی که در آن توابع هدف به حداقل رساندن کل زمان دیرکرد و هزینه توزیع بوده نیز NP-Hard هست و استفاده از روش‌های ابتکاری و فراتکاری برای آنها توجیه‌پذیر است.

با بررسی مقاله‌های اخیر در زمینه زمان‌بندی یکپارچه زنجیره تأمین، برای بهره‌گیری از روش‌های حل، نتایج حاصل شد. در این پژوهش‌ها، در راستای یافتن راه حل‌های بهینه پارتو برای چنین مسائل بهینه‌سازی‌ای، اغلب از الگوریتم‌های مختلف استفاده می‌شود. الگوریتم‌های فراتکاری چنددهدفه MOPSO^۴ و NSGA-II^۵، دو مورد از الگوریتم‌هایی هستند که در این پژوهش‌ها به طور گسترده از آنها استفاده شده است. در برخی از مسائل عملی بهینه‌سازی چنددهدفه^۶، تعدادی از متغیرهای مسئله مد نظر، پیوسته و تعدادی دیگر نیز گسسته هستند. همچنین فضای جستجو در این مسائل گاهی نامحدب یا ناپیوسته است. این دو عامل سبب می‌شوند که استفاده از روش‌های استاندارد بهینه‌سازی برای حل این گونه مسائل، ناکارآمد و پرهزینه باشد. الگوریتم‌های NSGA-II و MOPSO از روش‌های پرکاربرد برای بهینه‌سازی مسائل چنددهدفه هستند (بشیری و جلیلی، ۱۳۹۳). مزیت اصلی این الگوریتم‌ها دارا بودن رویکردی روش برای فراهم آوردن چگالی در بین جواب‌های بهینه پارتو است (سیفی و توکلی مقدم^۷، ۲۰۰۸). به همین دلیل، در پژوهش حاضر برای حل مسئله از دو الگوریتم یادشده استفاده شده و نتایج بدست آمده با یکدیگر مقایسه شده‌اند.

روش حل

در دنیای واقعی، مسائل بهینه‌سازی اغلب با وجود چندین هدف ناسازگار همراه هستند. بهینه‌سازی چنددهدفه به جستجوی نقاط بهینه با در نظر گرفتن توازن بین اهداف موجود می‌پردازد. به طور کلی، یک مسئله بهینه‌سازی چنددهدفه می‌تواند به صورت زیر تعریف شود:

- 1. Wang & Cheng
- 3. Demir, Bektaş & Laporte
- 5. Non-Dominated Sorting Genetic Algorithm
- 7. Seifi & Tavakkoli-Moghaddam

- 2. Mazdeh, Zaerpour, Zareei & Hajinezhad
- 4. Multi Objective Particle Swarm Optimization
- 6. Multi-Objective Optimization Problem

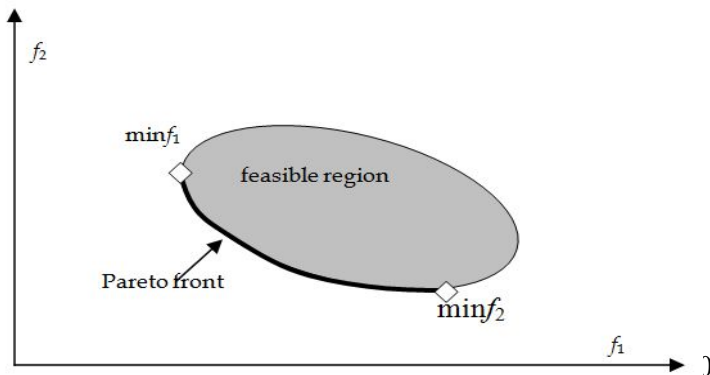
$$\min F(x) = [f_1(x), f_2(x), \dots, f_m(x)] \quad \text{رابطه (۳۰)}$$

$$\text{subject to : } X = (x_1, \dots, x_n) \in S \quad \text{رابطه (۳۱)}$$

که در آن $X = (x_1, \dots, x_n)$ بردار متغیرهای تصمیم و متعلق به فضای شدنی و غیرتهی S است. همچنین بردار تابع هدف $F: S \rightarrow \mathbb{R}^m$ که شامل $m \geq 2$ تابع هدف است. اگر $m=2$ باشد مسئله دو هدفه^۱ و اگر $m \geq 3$ مسئله را چندهدفه گویند. در مسائل چندهدفه، مجموعه پاسخهای بهینه نامغلوب یا پارتوا جایگزین پاسخ بهینه در مسئله تک هدفه شده‌اند (کومار و همکاران^۲، ۲۰۱۶).

دو مفهوم اساسی چیرگی (مغلوب) پارتوا^۳ و مجموعه ناچیره^۴ (نامغلوب) از جمله مفاهیم مهم در مباحث مربوط به بهینه‌سازی چندهدفه هستند. اگر x و y را دو راه حل در ناحیه شدنی S با تابع هدف $f(x)$ و $f(y)$ بنامیم، آنگاه x بر y غلبه می‌کند اگر و تنها اگر $f_j(x) > f_j(y) \quad \forall j = 1, \dots, m$ و $f_i(x) \geq f_i(y) \quad \forall i = 1, \dots, m$ (کوالو، لامرت و وان^۵، ۲۰۰۲).

در یک مجموعه شدنی مجموعه جواب‌های ناچیره شامل نقاطی هستند که مورد چیرگی هیچ یک از نقاط دیگر قرار نمی‌گیرند. به این مجموعه از نقاط مرز پارتوا^۶ گفته می‌شود (آتشپز و لوکاس^۷، ۲۰۰۷). شکل ۲ نمونه‌ای از مجموعه پارتوا مربوط به یک مسئله بهینه‌سازی دو هدفه را نشان می‌دهد. در این شکل هر دو تابع هدف از نوع حداقل‌سازی هستند.



شکل ۲. مجموعه پارتوا مربوط به یک مسئله بهینه‌سازی دو هدفه

منبع: آتشپز و لوکاس (۲۰۰۷)

در برخورد با مسائل MOP‌ها چندین مشکل وجود دارد. زمانی که تعداد اهداف افزایش می‌یابند، تعداد پاسخهای نامغلوب در فضای هدف نیز افزایش می‌یابند. به بیان دیگر، بیشتر راه حل‌های تولیدشده نامغلوب‌اند. این امر ممکن است سرعت جستجو در فضای جواب را آهسته کند، بنابراین تجسم جبهه پارتوا و تصمیم‌گیری برای انتخاب راه حل مناسب

1. Bi-Objective Optimization Problem
3. Pareto Dominance
5. Coello, Lamont & Van Veldhuizen
7. Atashpaz-Gargari & Lucas

2. Kumar et. al
4. Non- Dominance
6. Pareto Front

دشوار است. در نهایت، در مسائل چندهدفه، به دنبال راه حل هایی هستیم که در جبهه پارتو تنوع و پراکندگی مناسبی داشته باشند. تعریف فاصله بین راه حل های نامغلوب در مسائلی با بیش از دو هدف دشوار است. از این رو، چند الگوریتم تکاملی چندهدفه برای پرداختن به این مشکل ها طراحی شده است.

الگوریتم NSGA-II

دب و همکاران^۱ (۲۰۰۲)، به منظور حل مسائل بهینه سازی چندهدفه، الگوریتم NSGA-II را مطرح کردند. ویژگی های عمدۀ این الگوریتم عبارت اند از:

- تعریف فاصله از دحامی^۲ به عنوان ویژگی جایگزین برای شیوه های مانند اشتراک برازنده^۳؛
- استفاده از عملگر انتخاب تورنمنت دودویی^۴؛
- ذخیره و بایگانی کردن جواب های نامغلوب که در مراحل قبلی الگوریتم به دست آمده اند. جواب های نامغلوب به دست آمده از حل مسئله بهینه سازی چندهدفه، به نام جبهه پارتو شناخته می شوند.

مراحل اجرای الگوریتمی که درباره آن بحث شد، عبارت اند از:

Algorithm 1: Pseudocode of NSGAII

```

Input:  $N'$ ,  $g$ ,  $f_k(x)$   $\triangleright N'$  member evolved  $g$  generations to solve  $f_k(x)$ 
Initialize Population  $P'$ ;
Generate random population – size  $N'$ ;
Evaluate Objectives Values;
Assign Rank (level) based on Pareto – sort;
Generate Child Population;
Binary Tournament Selection;
Recombination and Mutation;
for  $i=1$  to  $g$  do
  for each Parent and Child in Population do
    Assign Rank (level) based on Pareto – sort;
    Generate sets of non-dominated solution;
    Determine Crowding distance;
    Loop (inside) by adding solution to next generation starting from
    the first front until  $N'$  individuals;
  end
  select points on the lower front with high crowding distance;
  create next generation;
  Binary Tournament Selection;
  Recombination and Mutation;
end

```

منبع: کوالو و همکاران (۲۰۰۷)

1. Deb & Pratap
3. Fitness sharing

2. Crowding Distance
4. Binary Tournament

ساختار نمایش جواب

بخش نخست نمایش جواب یک ماتریس C^* بوده و تعیین کننده توالی استفاده از وسائل نقلیه است. این ماتریس دارای ۷ ستون است و در صورتی که تعداد وسائل نقلیه ۴ باشد، این ماتریس به صورت زیر تولید خواهد شد:

۲	۱	۳	۴	وسائل نقلیه
---	---	---	---	-------------

شکل ۳. بخش نخست نمایش جواب

با توجه به شکل ۳ در ابتدا مشتری‌ها به وسیله نقلیه ۴ تخصیص داده می‌شوند و در صورت پر شدن ظرفیت آن، نوبت به تخصیص مشتری‌ها به وسیله نقلیه ۳ می‌رسد. بنابراین سفارش‌های ۱ و ۲ و ۵ به ماشین ۱ و به وسیله نقلیه ۴ تخصیص پیدا می‌کنند. اگر ظرفیت وسیله نقلیه اجازه داد، نوبت به سایر سفارش‌ها می‌رسد، در غیر این صورت، تا حد امکان سفارش‌های مربوط به ماشین ۱ به وسیله نقلیه ۴ و باقی‌مانده سفارش‌ها به وسیله نقلیه ۳ اختصاص داده می‌شوند. به همین ترتیب با رعایت توالی وسائل حمل و نقل، سفارش مشتریان تخصیص داده می‌شود.

بخش دوم نمایش جواب، توالی تخصیص مشتری‌ها به وسیله نقلیه تعیین می‌شود که یک ماتریس C^* است.

۲	۴	۳	۵	۱	مشتری
۲	۴	۳	۵	۱	وسیله نقلیه

شکل ۴. بخش دوم نمایش جواب

توالی تخصیص این مشتری‌ها به وسائل نقلیه بر اساس ماتریس بالا تعیین می‌شود. در ماتریس بالا مشاهده می‌شود که مشتری نخست قبل از مشتری ۵ و ۲ قرار دارد و مشتری ۵ قبل از مشتری ۲. از این رو، ترتیب تخصیص و ملاقات این مشتری‌ها توسط وسائل نقلیه به صورت ۱-۵-۲ است.

ابتدا یک جمعیت تصادفی تولید می‌شود که دارای ساختار و نمایش جوابی است که پیش‌تر توضیح داده شده است. برای هر عضو از جمعیت نمایش جواب و مقدار توابع هدف آن محاسبه و ذخیره می‌شود. سپس اعضای جمعیت بر اساس الگوریتم مرتب‌سازی نامغلوب مرتب می‌شوند و اعضایی از جمعیت که توسط هیچ یک از اعضای دیگر جمعیت مغلوب نشده‌اند، جبهه اول را تشکیل می‌دهند. گام بعدی محاسبه فاصله ازدحامی برای هر یک از اعضای جمعیت است. در مرحله بعد روی اعضای جمعیت تقاطع و جهش انجام می‌شود و اعضای جدید تولید شده با اعضای اصلی جمعیت ترکیب شده و سپس مرتب می‌شوند و جبهه‌های پاره‌تو تشکیل شده و فاصله ازدحامی برای هر یک از اعضای جبهه‌های پاره‌تو محاسبه می‌شود و در نهایت اضافی جمعیت حذف شده و مرتب‌سازی نامغلوب دوباره انجام می‌شود. در صورتی که شرایط توقف الگوریتم محبنا نشده باشد، دوباره فرایند تقاطع، جهش، ترکیب، مرتب‌سازی، حذف جمعیت اضافی و مرتب‌سازی نهایی انجام می‌شود.

الگوریتم MOPSO

در آغاز ابرهارت و کندی^۱ (۱۹۹۵)، الگوریتم PSO^۲ را بر اساس الگوریتم‌هایی که در آنها، مانند پرنده‌گان، رفتار دسته‌جمعی مشاهده شد، توسعه دادند. در دنیای واقعی، حرکت پرنده‌گان و جست‌وجوی غذا، سیستمی منظم را نشان می‌دهد که در آن هر پرنده موقعیت خود را در بعد زمان بهبود می‌بخشد.

در PSO تک‌هدفه، هر ذره تابع هدف خود را دنبال می‌کند، اما در الگوریتم MOPSO، باید با حرکت در راستای هر تابع هدف تطبیق پیدا کند. بنابراین، هر ذره در هر دسته p_{best} خود را داشته، اما g_{best} هر دسته توسط دسته‌های دیگر برای تکرارهای بعدی جایگزین می‌شود. بنابراین، برای تبادل ذرات تولیدشده در هر تکرار، یک آرشیو پویا ساخته می‌شود، ذرات با یکدیگر مقایسه می‌شوند و جواب‌های غیرمغلوب نگهداری شده و بقیه جواب‌ها در پایان تکرار حذف می‌شوند. با این سازوکار، در هر تکرار می‌توان به اعضای آرشیو خارجی^۳ دسترسی داشت. همچنین اندازه آرشیو خارجی به صورت پویا تغییر می‌کند.

بعد از تکرار k ام، مقدار تابع برآزنده موقعیت ذره آم از رابطه ۳۲ حاصل می‌شود:

$$fit(i, k) = \frac{H(i, k)}{density(i, k)} \quad (۳۲)$$

که در آن $H(i, k)$ تعداد ذرات مغلوب شده توسط ذره آم در تکرار k ام و $density(i, k)$ تعداد ذرات مشابه با ذره آم در تکرار k ام است. به طور معمول، بیشترین مقدار تابع برآزنده موقعیت بهتر ذره است.

Algorithm 2: Pseudocode of the standard MOPSO algorithm

```

Begin
  for each particle in the swarm
    Initialize its position & velocity randomly
  end for
  Initialize External Archive (EA) (initially EA empty)
  Quality (leader)
  do
    for each particle in the swarm
      select a particle (leader) from EA
      Evaluate the fitness function
      if the objective fitness value is better than the personal best objective fitness value
        ( $p_{best}$ ) in history
      then
        current fitness value set as the new personal best ( $p_{best}$ )
      end if
      update the particle velocity
      update the particle position
    end for
    update leader in EA
    Quality (leader)
  until stopping criteria is satisfied
    report the result of EA
end begin
```

منبع: Rahimi, Abdollahpouri & Moradi^۴ (۲۰۱۸)

در ابتدا، موقعیت اولیه هر ذره به عنوان p_{best} تنظیم می‌شود. در تکرارهای بعدی، اگر موقعیت فعلی ذره i بر p_{best} غلبه کند، موقعیت فعلی جایگزین می‌شود، در غیر این صورت، ذره i بدون تغییر باقی می‌ماند. اگر ارتباط غلبه بودن جود نداشته باشد، مقادیر تابع برازنده‌گی آنها محاسبه می‌شود و موقعیت با مقدار بیشتر به عنوان p_{best} انتخاب خواهد شد. در نهایت اگر مقادیر برازنده‌گی نیز برابر شد، یکی از آنها به طور تصادفی به عنوان p_{best} انتخاب می‌شود (الگوریتم ۲).

برای تولید راه حل اولیه الگوریتم MOPSO و NSGA-II از پژوهش‌های گوکسال و همکاران^۱ (۲۰۱۳)، ای و کاچیویچاینوکی^۲ (۲۰۰۹) و قرابی و جولای (۲۰۱۸) بهره گرفته شده است.

جستجوی محلی

با استفاده از جستجوی محلی در الگوریتم‌های تکاملی، کیفیت راه حل‌ها بهبود داده می‌شود. این جستجوی محلی در دو مرحله اجرا می‌شود. در مرحله نخست، پس از ایجاد زمان بندی کاملی برای مسئله زمان بندی، یک راه حل انتخاب می‌شود و توالی سفارش‌ها در این راه حل بر اساس قاعده اولویت موعد تحويل^۳ تنظیم می‌شود. قانون انتخاب یک راه حل بر اساس روش چرخه رولت است. در این روش یک راه حل با مقدار احتمال انتخاب بیشتر، برای انتخاب، شанс بالاتری دارد. تابع احتمالات به صورت زیر محاسبه می‌شود:

$$P_1 = 1 - \frac{1}{\sum_{i=1}^n T_i} \quad \text{رابطه (۳۳)}$$

جایی که T_i زمان دیرکرد کل راه حل i است.

همچنین در مرحله دوم، جستجوی محلی دیگری برای زیر مسئله مسیریابی انجام می‌شود. در این مورد، پس از ایجاد یک راه حل کامل مسئله مسیریابی، یک راه حل با روش انتخاب چرخه رولت انتخاب می‌شود. سپس، سه عملگر تعویض، تزریق و معکوس‌سازی روی این راه حل اعمال می‌شوند. در عملگر مبادله دو سفارش انتخاب شده و سپس موقعیت آنها در راه حل عوض می‌شود. در عملگر تزریق، یک مشتری انتخاب شده و سفارش مشتری دیگر انتخاب می‌شود و نخستین سفارش در کنار آن قرار می‌گیرد. علاوه بر این، در عملگر معکوس‌سازی، یک دنباله از مشتریان انتخاب شده و سپس این دنباله معکوس می‌شود. تابع انتخاب احتمال در این مرحله به شرح زیر محاسبه می‌شود؛ به این معنا که وسیله نقلیه‌ای با هزینه سفر بیشتر و سفارش بیشتر، احتمال انتخاب بیشتری دارد.

$$P_2 = \frac{\text{تعداد مشتری واگذار شده به وسیله } \times \text{هزینه سفر یک وسیله}}{\text{تعداد مشتریان}} \quad \text{رابطه (۳۴)}$$

حال، برای پذیرش راه حل‌های جدید از الگوریتم شبیه‌سازی تبرید^۴ استفاده می‌شود. برای تبرید یک جسم، ابتدا با دمای اولیه بالا شروع کرده و به آرامی دما برای دستیابی به تعادل ترمودینامیکی کاهش داده می‌شود (کیرک پاتریک،

1. Goksal, Karaoglan & Altiparmak
3. Earliest Due Date (EDD)

2. Ai & Kachitvichyanukul
4. Simulated Annealing Approach

گلت و وکچی^۱، ۱۹۸۳). بهترین راه حل ها در این تعادل پیدا می شوند. اگر یک راه حل جدید بهتر از راه حل قبل باشد، آن را قبول کرده و جایگزین راه حل قبلی می کنیم. در غیر این صورت، اگر راه حل جدید بهتر از راه حل قدیمی نیست، با احتمال زیر پذیرفته می شود:

$$P_2 = e^{-\Delta f T_{em}} \quad (35)$$

تفاوت تابع هدف بین راه حل جدید و راه حل قبلی است. برای یک مسئله چندهدفه، برای محاسبه تابع هدف از روش اسکالارسازی به صورت $(1 - \delta) + (F_r \times \delta) + (F_b \times \delta) = f$ استفاده می کنیم. علاوه بر این، پارامتر Term دما را نشان می دهد. دما، در الگوریتم بر اساس رابطه $T_{em_k} = 0.99 \times T_{em_{k-1}}$ ، که k شمارنده الگوریتم است، به آرامی کاهش داده می شود. بر اساس آزمایش های دمای اولیه $T_{em_0} = 10$ تنظیم شده است.

تنظیم پارامترها

تنظیم پارامترهای الگوریتم تأثیر شایان توجهی در عملکرد آن دارد. کیفیت (بهترین پاسخ، زمان حل و ...) هر روش فرابتکاری برای بهینه سازی مسئله، بهشدت متأثر از مقدار تنظیم شده برای پارامترهای آن است. شایان ذکر است، پارامترهای الگوریتم به صورت تجربی پس از دفعات متواتی زیاد اجرای الگوریتم و از روش آزمایش و خطا تنظیم شده اند.

جدول ۳. مقادیر بهینه برای پارامترهای الگوریتم های NSGA-II و MOPSO

NSGA-II		MOPSO	
مقدار بهینه	پارامترها	مقدار بهینه	پارامترها
۵۰	N_{pop}	۵۰	N_{pop}
۰/۵	C_r	۷۵	N_r
۰/۲	M_r	۰/۶	ω^t
۱۰۰	It	۱	C_i
		۱/۲۵	C_r
		۱۰۰	It

تولید نمونه مسئله

برای توصیف کارایی مدل و الگوریتم، مجموعه ای از داده های تصادفی از طریق توزیع های یکنواخت گسسته مطابق با جدول ۴ به شرح زیر و با توجه به پژوهش های قرایی و جولای (۲۰۱۸) و لی و همکاران (۲۰۱۸) طراحی شده اند. در این پژوهش، به دلیل ارتباط سه پارامتر زمان های پردازش، زمان های حمل و موعد تحویل، ابتدا زمان های پردازش بر اساس چندین آزمون و خطا در اجرای مدل طبق جدول طراحی شدند. به دلیل وجود معیار زمان دیر کرد در

مسئله، باید موعد تحویل به‌گونه‌ای در نظر گرفته شود که مسئله دارای زمان دیرکرد برای برخی از سفارش‌ها باشد.

$$\text{رابطه } [d_i \sim U\left[\frac{\bar{P}+\bar{t}}{2}; 2 \times (\bar{P} + \bar{t})\right]] \text{ برای زمان‌های تحویل در نظر گرفته شده است (قرایی و جولای، ۲۰۱۸).}$$

جدول ۴. داده‌های تصادفی مسئله

پارامتر	توضیحات	توزیع یکنواخت $U[a,b]$
p_i	زمان پردازش کار سفارش مشتری i	$U[100 \text{ و } 200]$
q_i	اندازه سفارش i	$U[10 \text{ و } 40]$
t_j, t_{ij}	زمان‌های حمل و نقل بین مشتری j	$U[30 \text{ و } 150]$
C_f	هزینه سوت در هر لیتر مصرفی	$7/30$
C_e	هزینه انتشار کربن در هر لیتر مصرفی	$0/64$
FC	هزینه ثابت هر بار انتقال	$U[200 \text{ و } 500]$
r_j, r_{ij}	هزینه انتقال بین مشتری j و i	$U[100 \text{ و } 500]$
v_{ij}	میانگین سرعت وسیله نقلیه در مسیر ij	$U[40 \text{ و } 100]$
α_{ij}	مقدار ثابت عوامل سرعت و ...	$U[0/90 \text{ و } 0/15]$
W_v	وزن وسایل نقلیه بدون بار	$U[1500 \text{ و } 5000]$
d_{ij}	فاصله بین دو گره	$U[30 \text{ و } 200]$
M	عدد بزرگ	۱۰۰۰
$L_{tw,j}$	حد پایین پنجره زمانی tw برای مشتری j	$U[2 \text{ و } 7]$
$E_{tw,j}$	حد بالای پنجره زمانی tw برای مشتری j	$U[7 \text{ و } 15]$

منبع: قرایی و جولای، ۲۰۱۸ و لی و همکاران، ۲۰۱۸

ساخ پارامترها به صورت هشت مسئله و در ابعاد بزرگ ($P1$ تا $P3$) و کوچک ($P1$ و $P2$) به منظور حل مسئله در
حالات مختلف، مطابق جدول ۵ طراحی و در نظر گرفته شد. در این جدول، C نشان‌دهنده تعداد مشتری؛ Cap_v
ظرفیت وسایل حمل و نقل نوع v : N_v تعداد وسیله نقلیه موجود و β_v مقدار ثابت برای عوامل مربوط به مقاومت سطح
(اصطکاک)، چگالی هوا، مساحت سطح وسیله نقلیه است. به طور مثال، در مسئله $P1$ با ۱۵۰ مشتری و دو نوع وسیله
نقلیه با ظرفیت‌های ۱۰۰ و ۱۶۰ هر یک به تعداد سه وسیله و با سه پنجره زمانی، طراحی و اقتباس شد.

برای ارزیابی عملکرد روش‌های چندهدفه، زیتلر، دب و تیلی^۱ (۲۰۰۰) سه ویژگی زیر را پیشنهاد داده‌اند:

- فاصله بین راه‌حل‌های نامغلوب و جبهه پارتو به حداقل برسد.
- توزیع یکنواخت راه‌حل‌ها در جبهه بهینه پارتو.
- گستره جواب‌های پارتوی به دست آمده باید حداً کثر شود.

جدول ۵. هشت مسئله مسیریابی با وسیله نقلیه ناهمگن

مسئلے								
P۸	P۷	P۶	P۵	P۴	P۳	P۲	P۱	
۳۰۰	۳۰۰	۲۵۰	۲۵۰	۲۰۰	۲۰۰	۱۵۰	۱۵۰	C
۱۲۰	۶۰	۸۰	۱۵۰	۲۰۰	۱۰۰	۱۵۰	۱۰۰	Cap _v
۵	۶	۴	۵	۳	۲	۴	۳	N _v
۲/۶۷	۱/۸۴	۲/۱۱	۳/۰۵	۳/۳۷	۲/۶۰	۳/۰۵	۲/۶۰	β _v
۱۶۰	۱۲۰	۱۲۰	۲۰۰	۲۵۰	۱۶۰	۲۰۰	۱۶۰	Cap _v
۵	۴	۴	۳	۳	۴	۳	۳	N _v
۳/۱۳	۲/۶۷	۲/۶۷	۳/۳۷	۳/۷۰	۳/۱۳	۳/۳۷	۳/۱۳	β _v
۲۰۰	۲۰۰	۱۵۰	۲۵۰	۳۰۰	۲۵۰	۳۰۰		Cap _v
۴	۲	۳	۳	۳	۳	۳		N _v
۳/۳۷	۳/۳۷	۳/۰۵	۳/۷۰	۳/۷۵	۳/۷۰	۳/۷۵		β _v
۳۰۰	۲۵۰	۲۰۰	۳۰۰	۳۵۰	۳۰۰			Cap _v
۲	۳	۳	۲	۲	۲			N _v
۳/۷۵	۳/۷۰	۳/۳۷	۳/۷۵	۴/۰۵	۳/۷۵			β _v
۳۵۰	۳۰۰	۲۵۰	۴۰۰					Cap _v
۱	۲	۱	۲					N _v
۴/۰۵	۳/۷۵	۳/۷۰	۴/۱۴					β _v
۴۰۰	۳۵۰	۳۵۰						Cap _v
۱	۲	۱						N _v
۱	۲	۴/۰۵						β _v
۵	۵	۴	۴	۲	۲	۳	۳	تعداد پنجره‌های زمانی

منبع: لی و همکاران (۲۰۱۸)

بنابراین، برای مقایسه روش‌های چندهدفه، حداقل سه معیار عملکردی لازم است. در این پژوهش از چهار معیار عملکرد استفاده شده است که به شرح زیر تعریف می‌شوند؛ Q به عنوان مجموعه جواب‌های پارتوی به دست آمده و R^* جبهه پارتو است:

نسبت پاسخ‌های نامغلوب (RNI)^۱: Tan, Lee & Khor (۲۰۰۲) این روش را معرفی کردند. این معیار، نسبت تعداد پاسخ‌های نامغلوب به دست آمده به کل تعداد راه حل‌ها را اندازه‌گیری می‌کند:

$$RNI = \frac{|Q|}{n} \quad RNI \in [0,1] \quad \text{رابطه (۳۶)}$$

|Q| نشان‌دهنده اندازه مجموعه راه حل‌های نامغلوب و n اندازه جمعیت است و مقادیر بزرگ‌تر RNI بهتر است.

میانگین فاصله ایده‌آل (MID)^۱: این معیار، برای اندازه‌گیری درجه نزدیک بودن پاسخ‌های به دست‌آمده به سطح بهینه واقعی پارتو استفاده شده و از معادله زیر محاسبه می‌شود:

$$MID = \frac{\sum_{i=1}^{|Q|} d_i}{|Q|} ; \quad d_i = \sqrt{\sum_{m=1}^M f_m^{(i)} - f_m^{*(i)}} \quad \text{رابطه (۳۷)}$$

در این معادله، d_i فاصله اقلیدسی هر عضو از مجموعه پارتو از نقطه ایده‌آل است که $f_m^{(i)}$ مقدار m امین تابع هدف در راه حل آم است و مقادیر کوچک‌تر MID مطلوب‌تر است.

معیار فاصله (SP)^۲: اسکات^۳ (۱۹۹۹) این روش را معرفی کرد. این معیار، چگونگی توزیع راه حل‌های نامغلوب، روی جبهه پارتو را تعیین می‌کند. در حقیقت، SP برآورده از فاصله راه حل‌های نامغلوب به دست‌آمده را محاسبه می‌کند که به شرح زیر است:

$$SP = \sqrt{\frac{1}{|Q|} \sum_{i=1}^{|Q|} (d_i - \bar{d})^2} ; \quad d_i = \min_{k \in Q, k \neq i} \left\{ \sum_{m=1}^M |f_m^{(i)} - f_m^k| \right\} \text{ and } \bar{d} = \frac{1}{|Q|} \sum_{i=1}^{|Q|} d_i \quad \text{رابطه (۳۸)}$$

بدیهی است، مقادیر کوچک‌تر SP بهتر است.

حداکثر تنوع (MD)^۴: این معیار نشان‌دهنده فاصله بین راه حل‌های نامغلوب مرزی (آخرین پاسخ‌ها) به دست‌آمده است. به گفته کالیموی^۵ (۲۰۰۱)، اگر توابع هدف دارای دامنه‌های مختلفی باشند، این معیار می‌تواند گمراه‌کننده باشد، بنابراین MD جدیدی معرفی شد که در آن هر مقدار تابع هدف در دامنه خود نرمал شده است.

$$MD = \sqrt{\frac{1}{m} \sum_{k=1}^m \left[\frac{\max_{i \in k} f_k^i - \min_{i \in k} f_k^i}{f_k^{\max} - f_k^{\min}} \right]^2} \quad \text{رابطه (۳۹)}$$

در این رابطه؛ m تعداد اهداف، f_k^i مقدار تابع هدف k ام، f_k^{\max} حداکثر مقدار تابع هدف k ام در جبهه پارتو و f_k^{\min} حداقل مقدار تابع هدف k ام است. مقادیر نزدیک به ۱ ترجیح داده می‌شود.

همچنین، برای واضح نشان دادن نتایج حاصل از اندازه‌گیری عملکرد الگوریتم‌ها، معیار وزنی WM که ترکیبی از چهار معیار است، در زیر ارائه شده است:

$$WM = \frac{RNI + (2 \times MID) + (2 \times SP) + (2 \times MD)}{7} \quad \text{رابطه (۴۰)}$$

1. Mean Ideal Distance
3. Schott
5. Kalyanmoy

2. Spacing Metric
4. Maximum Diversity

با توجه به اهمیت بیشتر گستره و توزیع یکنواخت راه حل‌ها، وزن آنها بیشتر است. برای استفاده از این معیار، مقدار معیارها باید با رابطه RDI نرمال شود، از این‌رو، مقادیر کوچک‌تر WM مطلوب‌تر است.

حل مسئله

در این بخش برای آزمایش اعتبارسنجی، از روش دقیق محدودیت اپسیلون^۱ استفاده می‌شود. در این روش، هدف اصلی به صورت تابع در نظر گرفته شده و سایر اهداف به صورت محدودیت، به مدل اضافه می‌شوند. ماوروتوس و فلوریس^۲ (۲۰۱۳) نسخه تکمیل شده‌ای از این رویکرد ارائه می‌دهند که تضمینی برای به دست آوردن راه حل بهینه پاره‌تو را فراهم می‌کند. مدل پیشنهادی در GAMS22.3-MINLP اجرا شده و نتایج با الگوریتم NSGA-II مقایسه می‌شوند. نتایج مقایسه در جدول ۶ مشاهده می‌شود. در ابتدا الگوریتم فرالبتکاری اجرا شده و پاسخ به دست‌آمده از آن به صورت $f_j^{min} = \min \{f_1^i, \dots, f_n^i\}$; $\forall i$ ذی‌بیره می‌شود که f_i^i مقدار هدف زام راه حل i است. در ادامه f_j^{min} برای تمامی اهداف محاسبه می‌شود.

جدول ۶. مقایسه روش دقیق با الگوریتم NSGA-II در اندازه کوچک

Relative GAP		Epsilon Constraint			NSGA-II			مسائل	
f_2	f_1	Running Time(min)	f_2	f_1	Running Time (min)	f_2^{min}	f_1^{min}	تعداد مشتری	تعداد سفارش
۰	۰	۶	۵۶۳۴۵	۱۳۷۸۶۹۵۴	۱/۰۱	۵۶۳۴۵	۱۳۷۸۶۹۵۴	۲	۲
۰	۰	۱۹	۹۷۴۳۷	۱۶۵۶۲۱۶۷	۱	۹۷۴۳۷	۱۶۵۶۲۱۶۷	۴	۴
۰	۰	۳۳	۸۳۶۷۵	۱۴۳۵۸۲۷۲	۱/۱۳	۸۳۶۷۵	۱۴۳۵۸۲۷۲	۵	۶
۰/۱۶	۰/۵۵	۴۶	۱۱۳۴۵۱/۸	۱۵۶۷۸۲۴۰/۴۵	۱/۰۹	۱۱۳۴۵۲	۱۵۶۷۸۲۴۱	۷	۸
۰/۷۱	۰/۲۵	۶۰	۱۳۶۷۵۸/۳	۱۵۹۶۷۵۴۸/۷۵	۱/۱۱	۱۳۶۷۵۹	۱۵۹۶۷۵۴۹	۸	۱۰
۰/۰۳	۰/۰۶	۷۰	۱۴۶۷۷۹/۶	۱۷۵۶۷۹۲۲/۹۴	۱	۱۴۶۷۸۰	۱۷۵۶۷۹۲۳	۱۰	۱۲
۰/۲۱	۰/۳۷	۹۰	۱۹۲۴۶۷/۴	۲۰۱۳۵۶۸۶/۶۳	۱/۱۵	۱۹۲۴۶۸	۲۰۱۳۵۶۸۷	۱۱	۱۴
۰/۱۳	۰/۰۲	۹۰	۲۲۸۹۷۴/۹	۲۱۲۳۳۷۶۴/۹۸	۱/۱۸	۲۲۸۹۷۵	۲۱۲۳۳۷۶۵	۱۴	۱۶
*	*	*	*	*	۱/۲۳	۲۴۷۸۹۵	۲۲۴۳۰۰۲۵	۱۸	۱۸
*	*	*	*	*	۱/۲۵	۳۳۶۵۷۸	۳۷۱۱۳۴۵۰	۲۰	۲۲
۰/۲۶	۰/۱۶	۴۶/۲۹			۱/۱۲			میانگین	

برای استفاده از روش اپسیلون محدودیت، با توجه به اینکه مسئله دو هدفه است، هر بار یک هدف را به عنوان هدف اصلی در نظر گرفته و هدف دیگر به محدودیتها اضافه می‌شود. مقدار حد آستانه هدف دیگر از مقدار به دست‌آمده برای آن هدف در الگوریتم فرالبتکاری و از مقادیر پاسخی که دارای f_j^{min} بود به دست می‌آید. اکنون اگر مقدار به دست‌آمده از

روش اپسیلون با f_j^{min} ، تفاوت شایان توجهی نداشت، مدل تأیید می شود. برای مقایسه بهتر پاسخ های به دست آمده، در دو ستون آخر جدول ۶ شکافی نسبی ارائه شده که انحراف نسبی مقدار تابع هدف بین روش های بهینه سازی NSGA-II و اهداف دو عامل که توسط روش محدودیت اپسیلون به دست می آید را نشان می دهد. این فاصله به شرح زیر است:

$$\text{Relative Gap}(\%) = \frac{Z_{\text{NSGA-II}} - Z_{\epsilon\text{psilon}}}{Z_{\epsilon\text{psilon}}} \quad (\text{رابطه } ۴۱)$$

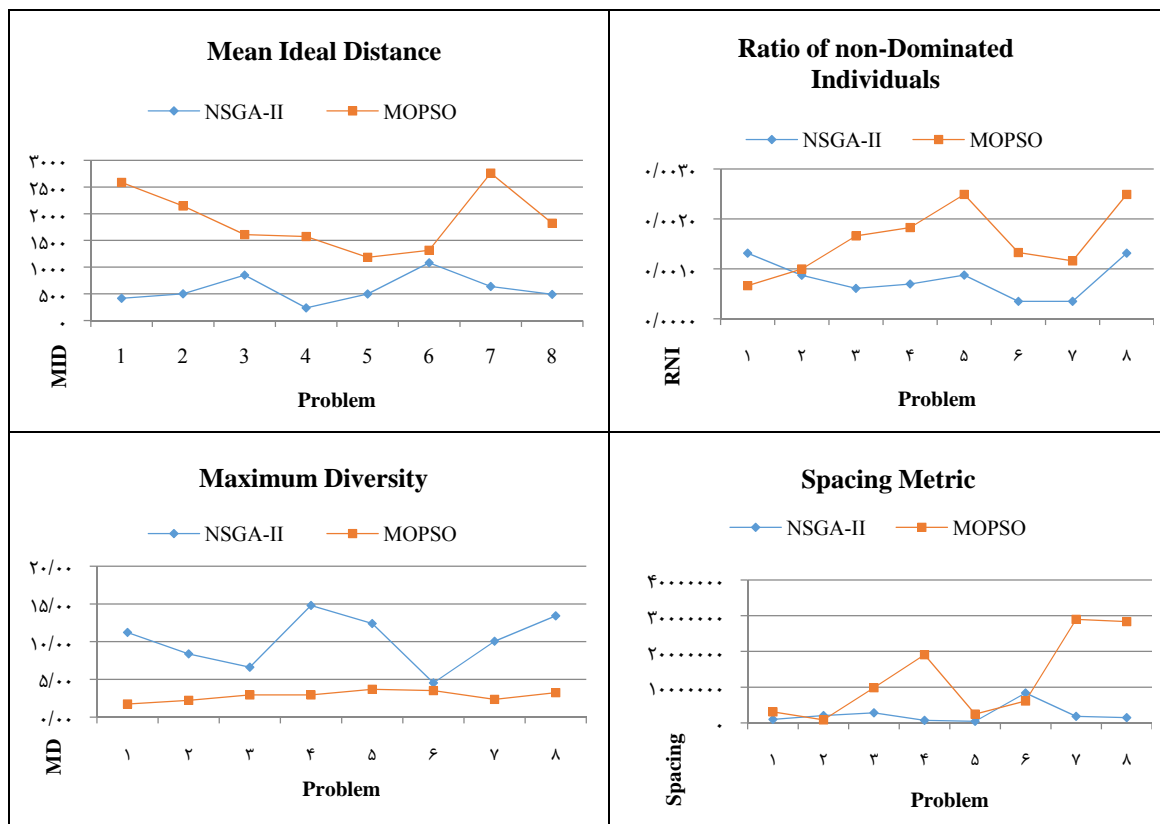
مقادیر بهینه مقادیر بهینه تابع هدف برای الگوریتم NSGA-II و روش اپسیلون هستند. بر اساس جدول ۶، الگوریتم NSGA-II قادر به دستیابی راه حل های نامغلوب بیشتری در زمان کمتر است و روش دقیق اپسیلون محدودیت قادر به حل دو مسئله آخر نبوده است. در دو ستون آخر، متوسط شکاف نسبی بین راه حل الگوریتم NSGA-II و حل دقیق برای تابع هدف اول ۰/۱۶ و برای تابع هدف دوم ۰/۲۶ است. بنابراین الگوریتم NSGA-II می تواند راه حل پاره تو را در جبهه یا بسیار نزدیک به آن پیدا کند و عملکرد الگوریتم معتبر است. در ادامه به طور کامل به اعتبارسنجی روش های فرالبتکاری پیشنهادی پرداخته می شود. برای این منظور، در بخش قبل چند معیار ارزیابی و چند مسئله آزمایشی با ابعاد کوچک تعریف شدند و در ادامه عملکرد الگوریتم MOPSO در مقایسه با الگوریتم NSGA-II ارزیابی می شود. برای ارزیابی صحیح الگوریتم ها، از معیارهای عملکردی معرفی شده در بخش قبلی استفاده شده و نتایج در جدول های ۷ و ۸ ارائه شدند. برای ارزیابی اثر جست و جوی محلی، نتایج الگوریتم ها ابتدا در حالت عدم حضور جست و جوی محلی و سپس در حضور جست و جوی محلی مقایسه می شوند. سپس برای توصیف واضح از نتایج، از معیار ترکیبی استفاده شده و نتایج در جدول ۹ نشان داده شده است.

جدول ۷. مقایسه الگوریتم ها بدون جست و جوی محلی

NSGA-II				MOPSO				Problem
MD	SP	MID	RNI	MD	SP	MID	RNI	
۱۱/۲۳	۱۰۰۶۷۶۷	۴۱۸	۰/۰۰۱۳	۱/۷۳	۳۱۱۷۲۰۴	۲۵۶۸	۰/۰۰۰۷	P۱
۸/۳۹	۲۰۵۸۷۹۹	۵۰۳	۰/۰۰۰۹	۰/۲۲	۸۶۸۹۲۶	۲۱۴۷	۰/۰۰۱۰	P۲
۶/۶۲	۲۸۲۲۱۲۴	۸۵۲	۰/۰۰۰۶	۲/۹۴	۹۸۷۶۶۹۰	۱۶۱۰	۰/۰۰۱۷	P۳
۱۴/۸۱	۷۳۱۵۰۷	۲۳۸	۰/۰۰۰۷	۲/۹۵	۱۹۰۷۵۵۷۵	۱۵۷۴	۰/۰۰۱۸	P۴
۱۲/۴۲	۴۷۱۷۲۲۳	۴۹۹	۰/۰۰۰۹	۳/۶۹	۲۴۷۸۱۱۹	۱۱۸۴	۰/۰۰۲۵	P۵
۴/۵۴	۸۳۷۷۷۳۵	۱۰۸۴	۰/۰۰۰۴	۳/۵۱	۶۱۴۸۶۴۶	۱۳۱۶	۰/۰۰۱۳	P۶
۱۰/۰۷	۱۸۳۸۹۲۹	۶۳۹	۰/۰۰۰۴	۲/۳۴	۲۸۹۷۸۲۸۹	۲۷۶۰	۰/۰۰۱۲	P۷
۱۳/۴۳	۱۴۹۵۷۵۹	۴۹۲	۰/۰۰۱۳	۳/۲۴	۲۸۳۵۳۹۴۱	۱۸۲۳	۰/۰۰۲۵	P۸

همان طور که در جدول ۷ و شکل ۵ نشان داده است، در غیاب جست و جوی محلی، از لحاظ تعداد راه حل های نامغلوب تولید شده (RNI)، MOPSO خروجی بهتر در اندازه های مختلف دارد که البته این تفاوت در اندازه های بزرگ شایان توجه است. از لحاظ معیار MID، MOPSO در مقایسه با NSGA-II راه حل پذیرفتی تری ارائه داده است. بر

حسب معیار فاصله SP، الگوریتم با مقادیر کوچک‌تر، پراکندگی بهتری روی جبهه پارتودارد، از این‌رو، NSGA-II عملکرد بهتری دارد. در نهایت MOPSO قادر به تولید راه حل بهتر از الگوریتم NSGA-II در رابطه با معیار MD است که گستره پاسخ‌ها را نشان می‌دهد.

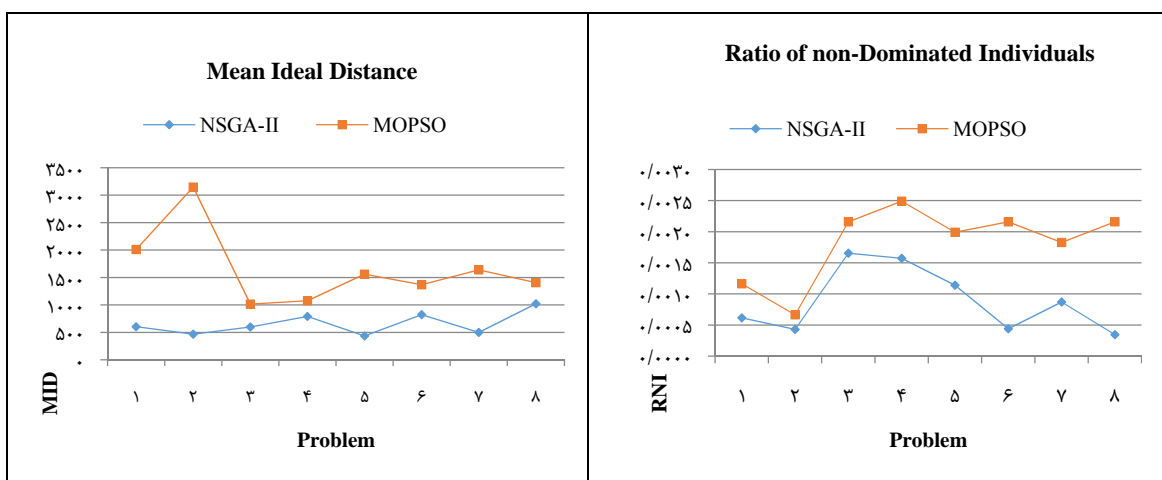


شکل ۵. نمودار معیارهای عملکردی بدون جستجوی محلی

جدول ۸. مقایسه الگوریتم‌ها بر اساس جستجوی محلی

NSGA-II				MOPSO				Problem
MD	SP	MD	RNI	MD	SP	MD	RNI	
۶/۳۲	۱۶۷۷۲۶۲	۶۰۲	۰/۰۰۰۶	۲/۳۲	۲۰۱۷۳۵۵۹	۲۰۰۹	۰/۰۰۱۲	P۱
۹/۰۲	۴۰۰۵۶۹	۴۶۷	۰/۰۰۰۴	۱/۶۲	۳۵۲۳۷۷۸۲	۳۱۴۶	۰/۰۰۰۷	P۲
۱۰/۲۷	۲۰۰۲۸۰۵	۵۹۷	۰/۰۰۱۷	۲/۳۳	۶۲۹۸۸۱۶	۱۰۱۵	۰/۰۰۲۲	P۳
۷/۳۷	۲۹۲۰۸۵۵	۷۹۰	۰/۰۰۱۶	۳/۷۳	۴۴۸۲۳۸۳	۱۰۷۷	۰/۰۰۲۵	P۴
۱۴/۵۰	۵۷۶۹۰۰	۴۳۴	۰/۰۰۱۱	۲/۸۶	۸۵۳۲۳۴۳	۱۵۵۹	۰/۰۰۲۰	P۵
۶/۷۵	۲۷۳۰۲۰۶	۸۲۳	۰/۰۰۰۴	۳/۴۰	۸۳۹۹۰۷۳	۱۳۶۷	۰/۰۰۲۲	P۶
۱۲/۰۵	۱۱۱۳۳۷۳	۴۹۷	۰/۰۰۰۹	۲/۷۷	۱۱۹۹۸۰۳۴	۱۶۳۸	۰/۰۰۱۸	P۷
۵/۵۳	۶۹۸۵۵۵۱	۱۰۲۱	۰/۰۰۰۳	۳/۲۶	۹۰۴۸۶۵۶	۱۴۰۶	۰/۰۰۲۲	P۸

برای بررسی کارایی جستجوی محلی، جستجو برای دو الگوریتم بالا اعمال می‌شود و نتایج در جدول ۸ و شکل ۶ ارائه شده است. همانند حالت بدون جستجوی محلی، بر اساس RNI، الگوریتم MOPSO عملکرد بهتری در اندازه‌های مختلف دارد. از لحاظ معیار MID، الگوریتم NSGA-II به طور نسبی در مقایسه با MOPSO راه حل پذیرفتی‌تری ارائه داده است. بر حسب معیار فاصله SP، الگوریتم با مقادیر کوچک‌تر پراکندگی بهتری روی جبهه پارتو دارد، از این‌رو، NSGA-II عملکرد بهتری دارد اما در حضور جستجوی محلی، این معیار برای الگوریتم MOPSO بهبود یافته است. در نهایت MOPSO قادر به تولید راه حل بهتر از الگوریتم NSGA-II در رابطه با معیار MD است که گسترده‌پاسخ‌ها را نشان می‌دهد.

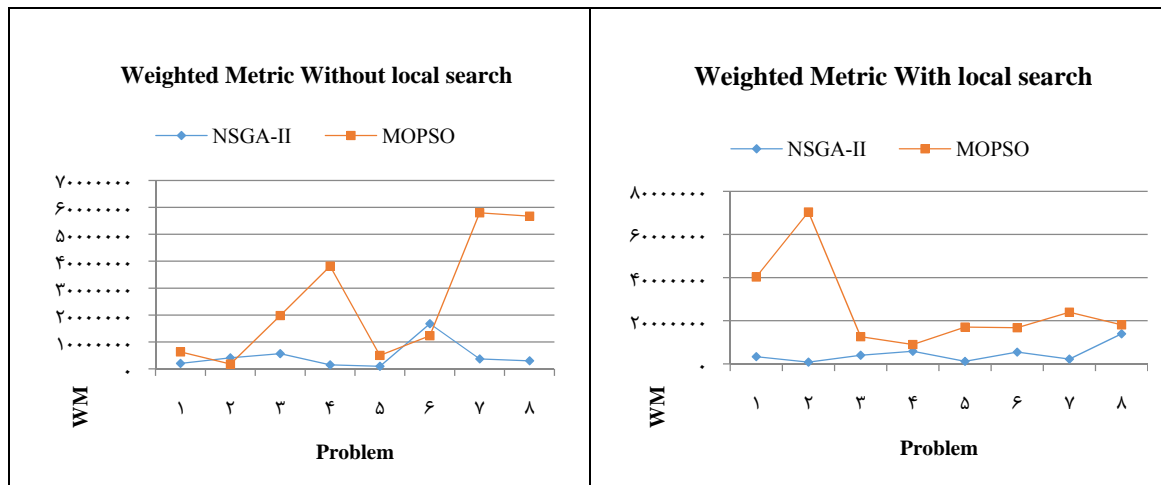


شکل ۶. نمودار معیارهای عملکردی بر اساس جستجوی محلی

همچنین با توجه به جدول ۹ و معیار وزنی (WM)، با اضافه کردن جستجوی محلی، عملکرد متوسط الگوریتم‌ها بهبود یافته است. مقدار کوچک‌تر این معیار مطلوب‌تر است.

جدول ۹. مقایسه معیار وزنی

Weighted Metric With local search		Weighted Metric Without local search		Problem
NSGA-II	MOPSO	NSGA-II	MOPSO	
۴۳۵۵۷۴۱	۴۰۳۵۱۱۴۲	۲۰۱۴۳۹۲	۶۲۳۹۵۸۳	P۱
۸۰۲۰۹۰	۷۰۴۸۱۸۶۰	۴۱۱۸۶۲۰	۱۷۴۲۱۵۰	P۲
۴۰۰۶۸۲۴	۱۲۵۹۹۶۶۹	۵۶۴۵۹۶۵	۱۹۷۵۶۶۰۷	P۳
۵۸۴۳۳۰۵	۸۹۶۶۹۹۲۷	۱۴۶۳۵۲۰	۳۸۱۵۴۳۰۲	P۴
۱۱۵۴۶۹۷	۱۷۰۶۷۸۱۰	۹۴۴۴۷۰	۴۹۵۸۶۱۳	P۵
۵۴۶۲۰۷۲	۱۶۸۰۰۸۸۶	۱۶۷۵۷۶۴۵	۱۲۲۹۹۹۳۰	P۶
۲۲۲۷۷۶۵	۲۳۹۹۹۳۴۹	۳۶۷۹۱۵۶	۵۷۹۶۲۱۰۲	P۷
۱۳۹۷۳۱۵۶	۱۸۱۰۰۱۳۰	۲۹۹۲۵۲۷	۵۶۷۱۱۵۳۵	P۸



شکل ۷. نمودار مقایسه معیارهای وزنی

با توجه به نتایج به دست آمده معیار WM، الگوریتم NSGA-II در مقایسه با MOPSO عملکرد بهتری دارد. به منظور مقایسه دقیق‌تر نتایج حاصل از معیارهای عملکردی، از تحلیل آماری t زوجی در سطح اطمینان ۹۵ درصد و $P - value < 0.05$ استفاده شد. علاوه بر این، مسئله P8 به تعداد ده مرتبه برای هر الگوریتم اجرا شده و نتایج در جدول‌های ۱۰ و ۱۱ ارائه شد. در بحث آنالیز آماری، هدف این است که میانگین‌های چندین جامعه با یکدیگر مقایسه شوند و به این موضوع پی برده شود که آیا میانگین‌های این جوامع با یکدیگر مساوی هستند یا اینکه بین آنها اختلاف بارز و معناداری وجود دارد. بدین منظور، ابتدا خروجی با نرم‌افزار Minitab ۱۸ تحلیل شده و در جدول ۱۲ ارائه شده است. با توجه به این نتایج، در سطح اطمینان ۹۵ درصد عملکرد الگوریتم MOPSO فقط در معیار MD در مقایسه با الگوریتم NSGA-II بهتر بوده است، از این‌رو، می‌توان بیان کرد که الگوریتم NSGA-II برای مدل پیشنهادی کارایی مناسب‌تری دارد.

جدول ۱۰. نتایج محاسباتی معیارهای عملکردی مسئله P8

MOPSO						
ACT (seconds)	GD	MD	SP	MID	RNI	P8
۴۵	۲۸۳۰.۷۷۲۴	۲	۵۴۵۹۶	۲۹۸۸	.۰/۰۱	۱
۷۳	۲۸۸۹۶۸۵۶	۳	۳۸۳۱۲	۲۷۴۸	.۰/۰۱	۲
۵۲	۱۹۰.۴۴۲۲۲	۳	۹۲۵۹۱	۲۱۱۱	.۰/۰۳	۳
۸۹	۱۰۷۹۱۶۹۶	۳	۹۴۰۰۷	۱۵۶۵	.۰/۰۲	۴
۹۶	۳۵۶۵۹۳۰۸	۲	۶۲۵۰۷	۳۶۰۹	.۰/۰۱	۵
۱۱۶	۷۳۸۸۵۸۰	۳	۱۱۷۱۶۳	۱۲۵۳	.۰/۰۲	۶
۱۳۰	۱۴۳۹۸۷۴۰	۳	۶۰۱۷۵	۱۳۱۴	.۰/۰۳	۷
۱۳۱	۴۱۴۲۵۴۷۳	۲	۳۱۰۲۰	۳۹۲۳	.۰/۰۱	۸
۱۳۸	۳۰۱۸۸۹۸۸	۲	۶۹۲۰۹	۳۳۴۲	.۰/۰۱	۹
۱۳۰	۱۶۷۴۹۲۴۷	۳	۱۲۹۸۰۹	۱۹۶۶	.۰/۰۱	۱۰

جدول ۱۱. نتایج محاسباتی معیارهای عملکردی مسئله P8

NSGA-II						
ACT (seconds)	GD	MD	SP	MID	RNI	P8
۷۵	۲۶۴۹۸۶۸	۹	۳۸۸۱۳	۵۷۳	.۰/۰۴	۱
۸۹	۸۱۰۰۱۴	۱۵	۳۷۳۴۷	۳۵۶	.۰/۰۱	۲
۵۴	۶۰۰.۶۸۶	۱۷	۳۱۷۳	۴۶۱	.۰/۰۴	۳
۹۱	۱۱۰.۱۱۴۴	۱۵	۳۰۳۹۲	۵۶۶	.۰/۰۴	۴
۸۶	۱۳۵۵۵۹۹	۱۳	۳۶۶۷۸	۵۱۳	.۰/۰۷	۵
۷۸	۱۴۱۷۱۲۵	۱۱	۵۰۵۸۳	۶۸۰	.۰/۰۴	۶
۸۱	۷۳۹۱۹۳	۱۹	۱۶۲۴	۴۹۴	.۰/۰۳	۷
۸۲	۹۳۷۹۳۹	۱۰	۳۲۲۲۸	۴۹۱	.۰/۰۲	۸
۷۵	۷۱۱۳۳۵	۱۳	۲۴۶۷۱	۴۱۸	.۰/۰۴	۹
۸۳	۱۰۴۶۶۱۵	۱۹	۱۸۵۲	۴۴۹	.۰/۰۱	۱۰

با توجه به جدول های بالا داریم:

 μ_1 : mean of MOPSO μ_2 : mean of NSGA-IIDifference: $\mu_1 - \mu_2$

جدول ۱۲. نتایج آزمون Two Paired Sample T-test

algorithm performance	Alternative hypothesis	Null hypothesis	P-Value	DF	T-Value	SE Mean	StDev	Mean	Algorithm
GD									
better	$H_1: \mu_1 - \mu_2 > 0$	$H_0: \mu_1 - \mu_2 = 0$.../...	۹	۶/۲۳	۳۵۵۱۲۶۱	۱۱۲۳۰۰۷۲	۲۳۲۸۵۰۸۳	MOPSO
						۱۸۸۵۰۶	۵۹۶۱۰۸	۱۱۳۶۹۵۲	NSGA-II
RNI									
better	$H_1: \mu_1 - \mu_2 < 0$	$H_0: \mu_1 - \mu_2 = 0$.../...	۱۴	-۴/۴۵	.../...۰۲۳	.../...۰۷۴۱	.../...۱۷۸۲	MOPSO
						.../...۰۴۰	.../...۰۱۲۸	.../...۰۳۸۶	NSGA-II
MID									
better	$H_1: \mu_1 - \mu_2 > 0$	$H_0: \mu_1 - \mu_2 = 0$.../...	۹	۶/۴۱	۳۰۸	۹۷۴	۲۴۸۲	MOPSO
						۲۹	۹۰۶	۵۰۰	NSGA-II
SP									
better		$H_1: \mu_1 - \mu_2 = 0$.../...	۱۳	۴/۲۰	۱۰۳۰۶	۳۲۵۸۹	۷۴۹۳۹	MOPSO
						۵۵۴۷	۱۷۵۴۰	۲۵۷۳۶	NSGA-II
MD									
better		$H_1: \mu_1 - \mu_2 = 0$.../...	۹	-۹/۷۹	.۰/۱۹	.۰/۵۹۶	۲/۶۰۲	MOPSO
-						۱/۱	۳/۶۳	۱۴	NSGA-II
ACT									
better		$H_1: \mu_1 - \mu_2 = 0$.../۰۵۱	۱۰	۱/۸۰	۱۱	۳۴/۴	۱۰۰	MOPSO
						۲/۳	۱۰/۴	۷۹/۵	NSGA-II

نتیجه‌گیری

در این پژوهش مسئله یکپارچه زمان‌بندی زنجیره تأمین با تعیین تخصیص موعد تحویل، زمان‌بندی سفارش‌ها روی یک ماشین در یک سیستم تولیدی و ارسال به صورت دسته‌ای واگذارشده به چندین وسیله حمل و نقل ناهمگن با توجه به ظرفیت و در نهایت تحویل سفارش‌ها به مشتریان در پنجره زمانی با هدف کمینه کردن کل هزینه‌های توزیع سفارش‌ها و هزینه‌های متغیر سوخت و انتشار کربن و کل زمان دیرکرد سفارش‌های مشتریان ارائه شد. مدل برنامه‌ریزی مسئله بیان شده یک مدل ریاضی عدد صحیح غیرخطی مختلط است. وسایل حمل و نقل می‌توانند در سرعت، ظرفیت یا نرخ هزینه حمل و نقل، تفاوت‌هایی داشته باشند که این امر باعث سختی بررسی این مسائل می‌شود. اجرای این پژوهش به کاهش هزینه‌های توزیع و تحویل در زنجیره تأمین و همچنین دیرکرد در تحویل سفارش‌ها به مشتریان و افزایش رضایتمندی آنان منجر خواهد شد. همچنین می‌توان به کمک این مسئله موجودی محصولات و هزینه‌های نگهداری را کاهش داد. برنامه‌ریزی مناسب در واگذاری سفارش‌ها به کارخانه‌ها و ناوگان حمل و نقل، به افزایش بهره‌وری و استفاده مناسب از منابع منجر خواهد شد. همچنین جریان سفارش در میان منابع سیستم مانند ماشین‌آلات، کارخانجات و ناوگان حمل متعادل خواهد شد. در دنیای واقعی، عوامل مختلف مانند مشتریان، تأمین‌کنندگان، تولیدکنندگان و توزیع کنندگان

ممکن است اهداف متضاد مختلفی داشته باشند و باید به منافع همه اعضای زنجیره تأمین توجه شود. به طور مثال، در این پژوهش، کاهش کل زمان دیرکرد به افزایش هزینه توزیع و بر عکس منجر می‌شود، بنابراین به تعادل بین اهداف نیاز است. همچنین مدیریت می‌تواند یک هدف را به عنوان هدف اصلی انتخاب کند و اهداف دیگر را به عنوان محدودیت در نظر بگیرد.

از دیدگاه مدیریتی، این پژوهش ممکن است به کاهش هزینه‌های تولید، توزیع، نگهداری موجودی و مصرف سوخت منجر شود. همچنین می‌توان به کمک این مسئله موجودی محصولات و هزینه‌های نگهداری را کاهش داد. برنامه‌ریزی مناسب در واگذاری سفارش‌ها به کارخانه‌ها و ناوگان حمل و نقل، به افزایش بهره‌وری و استفاده مناسب از منابع منجر خواهد شد. همچنین جریان سفارش در میان منابع سیستم مانند ماشین‌آلات، کارخانجات و ناوگان حمل متعدد خواهد شد.

به منظور اعتبارسنجی و ارزیابی مدل، الگوریتم MOPSO با الگوریتم NSGA-II در آزمایش‌های عددی مقایسه شده و برای ارزیابی راه حل‌ها، برخی از معیارهای عملکرد برای مسائل چندهدفه استفاده شدند. نتایج نشان دادند که عملکرد NSGA-II بالاتر است.

مسائل مربوط به تصمیم‌گیری یکپارچه زمان‌بندی زنجیره تأمین و مدل‌های مربوط به آن از تنوع بالایی برخوردار هستند. از این رو با به کارگیری فرضیه‌های جدید می‌توان مدل‌های پیشین را توسعه داد و به دنیای واقعی نزدیک‌تر کرد. به منظور بهبود این پژوهش موارد زیر پیشنهاد می‌شوند:

- تمام پارامترهای این مدل پیشنهادی قطعی در نظر گرفته شده‌اند، این در حالی است که در عمل برخی از پارامترها (از جمله زمان حرکت وسائل نقلیه) ماهیت غیرقطعی دارند. از این رو، پیشنهاد می‌شود در پژوهش‌های آتی با رویکردهای بهینه‌سازی در شرایط عدم قطعیت (مثل برنامه‌ریزی تصادفی یا استوار) این مهم در نظر گرفته شود.
- استفاده از سایر الگوریتم‌های فرالبتکاری برای حل مدل ارائه شده و مقایسه با روش پیشنهادی.
- در نظر گرفتن چندین دوره زمانی برای مسئله ارائه شده.

منابع

اصغری‌زاده، عزت الله؛ جعفر نژاد، احمد؛ زندیه، مصطفی؛ جویبار، سبحان (۱۳۹۶). تبیین الگوی مدل‌سازی ترافیک در مسائل مسیریابی خودرو مبتنی بر پارادایم حمل و نقل سبز (مورد مطالعه: شرکت زمز). مدیریت صنعتی، ۲(۹)، ۲۱۷-۲۴۴.

بشیری، مهدی؛ جلیلی، مجید (۱۳۹۳). الگوریتم ژنتیک در فضای تک‌هدفه و چندهدفه (مفاهیم و ابزارها). تهران: انتشارات دانشگاه شاهد.

حاجیان، سیما؛ افشار کاظمی، محمدعلی؛ سید حسینی، سید محمد؛ طلوعی اشلقی، عباس (۱۳۹۸). ارائه مدل چندهدفه برای مسئله مکان‌یابی - مسیریابی - موجودی در شبکه زنجیره تأمین حلقه بسته سبز چنددوره‌ای و چندمحصولی برای کالاهای فاسدشدنی. مدیریت صنعتی، ۱۱(۱)، ۸۳-۱۱۰.

شاہیندرزاده، حمید؛ نجمی، محمد حسن؛ عطایی، علیرضا (۱۳۹۶). ارائه مدل ریاضی بر اساس مسئله مسیریابی خودروی ظرفیت‌دار با پنجره‌های زمانی برای جمع‌آوری زباله. *مدیریت صنعتی*، ۱(۹)، ۱۴۷-۱۶۶.

صادقی مقدم، محمدرضا؛ مؤمنی، منصور؛ نالچیگر، سروش. (۱۳۸۸). برنامه‌ریزی یکپارچه تأمین، تولید و توزیع زنجیره تأمین با به کارگیری الگوریتم ژنتیک. *مدیریت صنعتی*، ۱(۲)، ۷۱-۸۸.

References

- Ahmadizar, F., & Farhadi, S. (2015). Single-machine batch delivery scheduling with job release dates, due windows and earliness, tardiness, holding and delivery costs. *Computers & Operations Research*, 53, 194-205.
- Ai, T. J., & Kachitvichyanukul, V. (2009). A particle swarm optimization for the vehicle routing problem with simultaneous pickup and delivery. *Computers & Operations Research*, 36(5), 1693-1702.
- Asgharizadeh, E., Jafarnejad, A., Zandieh, M., & Joybar, S. (2017). Explaining the model of traffic modeling in vehicle routing problems based on the green transportation paradigm (Case study: Zamzam Company). *Journal of Industrial Management*, 9 (2), 217-244. (in Persian)
- Atashpaz-Gargari, E., & Lucas, C. (2007, September). Imperialist competitive algorithm: an algorithm for optimization inspired by imperialistic competition. In *2007 IEEE congress on evolutionary computation* (pp. 4661-4667). IEEE.
- Bashiri, M., Jalili, M. (2014). *Genetic algorithm in single-objective and multi-objective space (concepts and tools)*. Tehran: Shahed University Press. (in Persian)
- Chen, Z. L. (1996). Scheduling and common due date assignment with earliness-tardiness penalties and batch delivery costs. *European Journal of Operational Research*, 93(1), 49-60.
- Chen, Z. L., & Vairaktarakis, G. L. (2005). Integrated scheduling of production and distribution operations. *Management Science*, 51(4), 614-628.
- Cheng, T. C. E., & Kahlbacher, H. G. (1993). Scheduling with delivery and earliness penalties. *Asia-Pacific Journal of Operational Research*, 10(2), 145-152.
- Cheng, T. E., Gordon, V. S., & Kovalyov, M. Y. (1996). Single machine scheduling with batch deliveries. *European Journal of Operational Research*, 94(2), 277-283.
- Coello, C. A. C., Lamont, G. B., & Van Veldhuizen, D. A. (2007). *Evolutionary algorithms for solving multi-objective problems* (Vol. 5, pp. 79-104). New York: Springer.
- Deb, K., & Pratap, A. (2002). *A fast elitist non-dominated sorting genetic algorithm for multi-objective optimization*, NSGA-II.
- Demir, E., Bektaş, T., & Laporte, G. (2012). An adaptive large neighborhood search heuristic for the pollution-routing problem. *European Journal of Operational Research*, 223(2), 346-359.

- Dondo, R., & Cerdá, J. (2015). The heterogeneous vehicle routing and truck scheduling problem in a multi-door cross-dock system. *Computers & Chemical Engineering*, 76, 42-62.
- Dong, J., Zhang, A., Chen, Y., & Yang, Q. (2013). Approximation algorithms for two-machine open shop scheduling with batch and delivery coordination. *Theoretical Computer Science*, 491, 94-102
- Eberhart, R., & Kennedy, J. (1995, November). Particle swarm optimization. In *Proceedings of the IEEE international conference on neural networks* (Vol. 4, pp. 1942-1948).
- Fahimnia, B., Farahani, R. Z., Marian, R., & Luong, L. (2013). A review and critique on integrated production–distribution planning models and techniques. *Journal of Manufacturing Systems*, 32(1), 1-19.
- Feng, X., & Zheng, F. (2013, December). Integrated Job Scheduling with Parallel-Batch Processing and Batch Deliveries. In *International Conference on Combinatorial Optimization and Applications* (pp. 72-83). Springer, Cham.
- Geismar, H. N., Laporte, G., Lei, L., & Sriskandarajah, C. (2008). The integrated production and transportation scheduling problem for a product with a short lifespan. *INFORMS Journal on Computing*, 20(1), 21-33.
- Gharaei, A., & Jolai, F. (2018). A multi-agent approach to the integrated production scheduling and distribution problem in multi-factory supply chain. *Applied Soft Computing*, 65, 577-589.
- Goksal, F. P., Karaoglan, I., & Altiparmak, F. (2013). A hybrid discrete particle swarm optimization for vehicle routing problem with simultaneous pickup and delivery. *Computers & Industrial Engineering*, 65(1), 39-53.
- Golden, B., Assad, A., Levy, L., & Gheysens, F. (1984). The fleet size and mix vehicle routing problem. *Computers & Operations Research*, 11(1), 49-66.
- Gu, J., Gu, M., & Gu, X. (2015). A mutualism quantum genetic algorithm to optimize the flow shop scheduling with pickup and delivery considerations. *Mathematical Problems in Engineering*, 2015. <https://doi.org/10.1155/2015/387082>.
- Hajian, S., Afshar Kazemi, M. A., Seyed Hosseini, S. M., Toloui Ashlaghi, A. (2019). Presenting a multi-objective model for the location-routing-inventory problem in the multi-cycle green supply chain network of multi-period and multi-product for perishable goods. *Journal of Industrial Management*, 11 (1), 83-110. (in Persian)
- Hall, N. G., & Potts, C. N. (2003). Supply chain scheduling: Batching and delivery. *Operations Research*, 51(4), 566-584
- Hamidinia, A., Khakabimamaghani, S., Mazdeh, M. M., & Jafari, M. (2012). A genetic algorithm for minimizing total tardiness/earliness of weighted jobs in a batched delivery system. *Computers & Industrial Engineering*, 62(1), 29-38.
- Herrmann, J. W., & Lee, C. Y. (1993). On scheduling to minimize earliness-tardiness and batch delivery costs with a common due date. *European Journal of Operational Research*, 70(3), 272-288.

- Ji, M., He, Y., & Cheng, T. E. (2007). Batch delivery scheduling with batch delivery cost on a single machine. *European journal of operational research*, 176(2), 745-755.
- Kalyanmoy, D. (2001). *Multi objective optimization using evolutionary algorithms* (pp. 124-124). John Wiley and Sons.
- Karimi, N., & Davoudpour, H. (2017). Integrated production and delivery scheduling for multi-factory supply chain with stage-dependent inventory holding cost. *Computational and Applied Mathematics*, 36(4), 1529-1544.
- Kim, E. S., & Oron, D. (2013). Coordinating multi-location production and customer delivery. *Optimization Letters*, 7(1), 39-50.
- Kirkpatrick, S., Gelatt, C. D., & Vecchi, M.P. (1983). Optimization by simulated annealing. *Science*, 220(4598), 671-680.
- Kumar, R. S., Kondapaneni, K., Dixit, V., Goswami, A., Thakur, L. S., & Tiwari, M. K. (2016). Multi-objective modeling of production and pollution routing problem with time window: A self-learning particle swarm optimization approach. *Computers & Industrial Engineering*, 99, 29-40.
- Lee, C. Y., & Chen, Z. L. (2001). Machine scheduling with transportation considerations. *Journal of scheduling*, 4(1), 3-24.
- Li, C. L., & Vairaktarakis, G. (2007). Coordinating production and distribution of jobs with bundling operations. *IIE transactions*, 39(2), 203-215.
- Li, G., Lu, X., & Liu, P. (2016). The coordination of single-machine scheduling with availability constraints and delivery. *Journal of Industrial & Management Optimization*, 12(2), 757-770.
- Li, J., Wang, D., & Zhang, J. (2018). Heterogeneous fixed fleet vehicle routing problem based on fuel and carbon emissions. *Journal of Cleaner Production*, 201, 896-908
- Mavrotas, G., & Florios, K. (2013). An improved version of the augmented ϵ -constraint method (AUGMECON2) for finding the exact pareto set in multi-objective integer programming problems. *Applied Mathematics and Computation*, 219(18), 9652-9669.
- Mazdeh, M. M., & Rostami, M. (2014). A branch-and-bound algorithm for two-machine flow-shop scheduling problems with batch delivery costs. *International Journal of Systems Science: Operations & Logistics*, 1(2), 94-104.
- Mazdeh, M. M., Zaerpour, F., Zareei, A., & Hajinezhad, A. (2010). Parallel machines scheduling to minimize job tardiness and machine deteriorating cost with deteriorating jobs. *Applied Mathematical Modelling*, 34(6), 1498-1510
- Mazdeh, M., Heydari, M., & Karamouzian, A. (2016). An integrated model of scheduling, batch delivery and supplier selection in a make-to-order manufacturing system. *Decision Science Letters*, 5(2), 189-200.
- Moons, S., Ramaekers, K., Caris, A., & Arda, Y. (2017). Integrating production scheduling and vehicle routing decisions at the operational decision level: a review and discussion. *Computers & Industrial Engineering*, 104, 224-245.

- Mula, J., Peidro, D., Díaz-Madronero, M., & Vicens, E. (2010). Mathematical programming models for supply chain production and transport planning. *European Journal of Operational Research*, 204(3), 377-390.
- Noroozi, A., Mazdeh, M. M., Heydari, M., & Rasti-Barzoki, M. (2018). Coordinating order acceptance and integrated production-distribution scheduling with batch delivery considering Third Party Logistics distribution. *Journal of manufacturing systems*, 46, 29-45.
- Pandoor, G., & Chen, Z. L. (2005). Scheduling a production-distribution system to optimize the tradeoff between delivery tardiness and distribution cost. *Naval Research Logistics (NRL)*, 52(6), 571-589.
- Rahimi, S., Abdollahpouri, A., & Moradi, P. (2018). A multi-objective particle swarm optimization algorithm for community detection in complex networks. *Swarm and Evolutionary Computation*, 39, 297-309.
- Rasti-Barzoki, M., & Hejazi, S. R. (2015). Pseudo-polynomial dynamic programming for an integrated due date assignment, resource allocation, production, and distribution scheduling model in supply chain scheduling. *Applied Mathematical Modelling*, 39(12), 3280-3289.
- Sadeghi Moghadam, M.R., Momeni, M., Nalchiger, S. (2010). Integrated Supply Chain Planning, Production and Distribution Using Genetic Algorithm. *Journal of Industrial Management*, 1 (2), 71-88. (in Persian)
- Schott, J. R. (1995). *Fault Tolerant Design Using Single and Multicriteria Genetic Algorithm Optimization* (No. AFIT/CI/CIA-95-039). Air Force Inst of Tech Wright-Patterson Afb Oh.
- Seifi, M., & Tavakkoli-Moghaddam, R. (2008). A new bi-objective model for a multi-mode resource-constrained project scheduling problem with discounted cash flows and four payment models. *International Journal of Engineering*, 21(4), 347-360.
- Shahbandarzadeh, H., Najmi, M.H., Ataiee, A. (2017). Provide a mathematical model based on the problem of routing a capacity vehicle with time windows for waste collection. *Journal of Industrial Management*, 9 (1), 147-166. (in Persian)
- Solomon, M. M. (1986). On the worst-case performance of some heuristics for the vehicle routing and scheduling problem with time window constraints. *Networks*, 16(2), 161-174.
- Sterna, M. (2011). A survey of scheduling problems with late work criteria. *Omega*, 39(2), 120-129.
- Tan, K. C., Lee, T. H., & Khor, E. F. (2002). Evolutionary algorithms for multi-objective optimization: Performance assessments and comparisons. *Artificial intelligence review*, 17(4), 251-290.
- Toth, P., & Vigo, D. (Eds.). (2002). *The vehicle routing problem*. Society for Industrial and Applied Mathematics.
- Wang, G., & Cheng, T. E. (2000). Parallel machine scheduling with batch delivery costs. *International Journal of Production Economics*, 68(2), 177-183.

- Wang, H., & Lee, C. Y. (2005). Production and transport logistics scheduling with two transport mode choices. *Naval Research Logistics (NRL)*, 52(8), 796-809
- Xiang, W., & Lee, H. P. (2008, June). Ant colony intelligence in agent coordination for dynamic manufacturing scheduling. In *2008 7th World Congress on Intelligent Control and Automation* (pp. 3527-3532). IEEE.
- Yin, Y., Cheng, T. C. E., Cheng, S. R., & Wu, C. C. (2013). Single-machine batch delivery scheduling with an assignable common due date and controllable processing times. *Computers & Industrial Engineering*, 65(4), 652-662
- Zarei, H., & Rasti-Barzoki, M. (2018). Mathematical programming and three metaheuristic algorithms for a bi-objective supply chain scheduling problem. *Neural Computing and Applications*, 1-21.
- Zhong, X. and Jiang, D. (2015). Parallel machine scheduling with batch delivery to two buyers. *Mathematical Problems in Engineering*.
- Zitzler, E., Deb, K., & Thiele, L. (2000). Comparison of multiobjective evolutionary algorithms: Empirical results. *Evolutionary computation*, 8(2), 173-195.